Leçon 25 – 27/05/2025

8. Circuits à courant continu

- 8.4 Résistance d'un conducteur
- 8.5 Ampèremètre et voltmètre

9. Magnétostatique

- 9.1 Champ magnétique et force de Lorentz
- 9.2 Force de Laplace

8.4 Résistance d'un conducteur

8.4 Résistance d’un conducteur

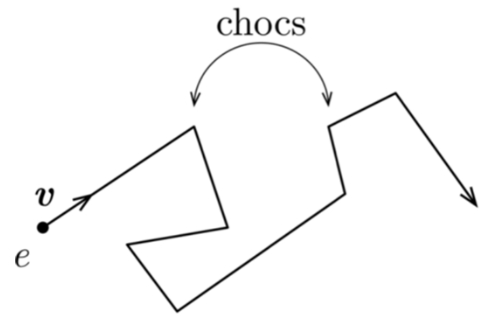

8.4 Résistance d'un conducteur

- Dans un conducteur, un électron accéléré par une force électrique **F** = *e***E** est aussi freiné par les chocs avec les atomes. Cela est modélisé par une force de frottement proportionnelle à la vitesse **F** = $-\lambda$**v** où $\lambda > 0$.

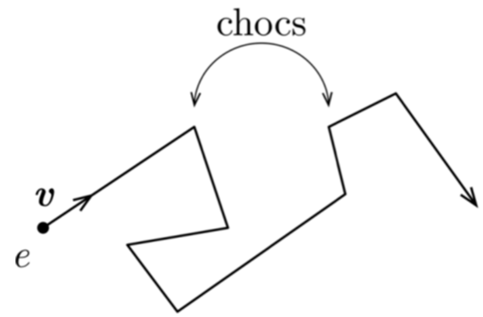

8.4 *Résistance d'un conducteur*

- Dans un conducteur, un électron accéléré par une force électrique **F** = e**E** est aussi freiné par les chocs avec les atomes. Cela est modélisé par une force de frottement proportionnelle à la vitesse **F** = -λ**v** où $\lambda > 0$.

- Les électrons atteignent rapidement une vitesse limite constante donnée par la 2ème loi de Newton :

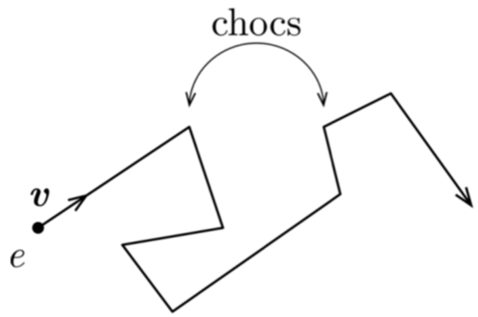

$$\mathbf{F}^{\text{ext}} = e\mathbf{E} - \lambda\mathbf{v} = m\mathbf{a} = \mathbf{0}$$

$$\Rightarrow \boxed{\mathbf{v} = \frac{e}{\lambda}\mathbf{E} \quad (8.9)} \quad \text{où } e < 0 \Rightarrow \frac{e}{\lambda} < 0$$

Les électrons se déplacent dans le sens opposé à **E**.

8.4 Résistance d'un conducteur

- Dans un conducteur, un électron accéléré par une force électrique **F** = e**E** est aussi freiné par les chocs avec les atomes. Cela est modélisé par une force de frottement proportionnelle à la vitesse **F** = -λ**v** où $\lambda > 0$.

- Les électrons atteignent rapidement une vitesse limite constante donnée par la 2ème loi de Newton :

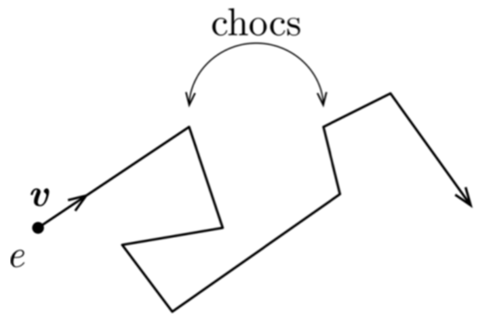

$$\mathbf{F}^{\text{ext}} = e\mathbf{E} - \lambda\mathbf{v} = m\mathbf{a} = \mathbf{0}$$

$$\Rightarrow \boxed{\mathbf{v} = \frac{e}{\lambda}\mathbf{E} \quad (8.9)} \quad \text{où } e < 0 \Rightarrow \frac{e}{\lambda} < 0$$

Les électrons se déplacent dans le sens opposé à **E**.

- On définit la mobilité μ des électrons de la manière suivante :

$$\boxed{\mathbf{v} = \mu\mathbf{E} \quad \text{où} \quad \mu = \frac{e}{\lambda} \quad (8.10)}$$

8.4 Résistance d'un conducteur

Georg Ohm

8.4 Résistance d'un conducteur

- Dans un fil de section S et de longueur L, le courant électrique I uniforme dû au déplacement des électrons de conduction s'écrit :

$$I \overset{(8.3)}{=} enSv \overset{(8.10)}{=} enS\mu E \Rightarrow \quad \boxed{E = \frac{1}{ne\mu}\frac{I}{S} \quad (8.11)}$$

Georg Ohm

8.4 Résistance d'un conducteur

- Dans un fil de section S et de longueur L, le courant électrique I uniforme dû au déplacement des électrons de conduction s'écrit :

$$I \overset{(8.3)}{=} enSv \overset{(8.10)}{=} enS\mu E \Rightarrow \quad \boxed{E = \frac{1}{ne\mu}\frac{I}{S} \quad (8.11)}$$

- Comme le champ électrique est uniforme, la tension U entre les extrémités du fil s'écrit :

$$\boxed{U = \int_0^L E(r)\,dr = E\int_0^L dr = EL \quad (8.12)}$$

Georg Ohm

8.4 Résistance d’un conducteur

- Dans un fil de section S et de longueur L, le courant électrique I uniforme dû au déplacement des électrons de conduction s’écrit :

$$I \overset{(8.3)}{=} enSv \overset{(8.10)}{=} enS\mu E \Rightarrow \boxed{E = \frac{1}{ne\mu}\frac{I}{S} \quad (8.11)}$$

- Comme le champ électrique est uniforme, la tension U entre les extrémités du fil s’écrit :

$$\boxed{U = \int_0^L E(r)\,dr = E\int_0^L dr = EL \quad (8.12)}$$

- La tension U est donc liée au courant I par la loi d’Ohm :

$$\boxed{U = RI \text{ où } R = \frac{1}{ne\mu}\frac{L}{S} \quad (8.13)}$$

Georg Ohm

8.4 Résistance d'un conducteur

- Dans un fil de section S et de longueur L, le courant électrique I uniforme dû au déplacement des électrons de conduction s'écrit :

$$I \overset{(8.3)}{=} enSv \overset{(8.10)}{=} enS\mu E \Rightarrow \boxed{E = \frac{1}{ne\mu}\frac{I}{S} \quad (8.11)}$$

- Comme le champ électrique est uniforme, la tension U entre les extrémités du fil s'écrit :

$$\boxed{U = \int_0^L E(r)\,dr = E\int_0^L dr = EL \quad (8.12)}$$

- La tension U est donc liée au courant I par la loi d'Ohm :

$$\boxed{U = RI \quad \text{où} \quad R = \frac{1}{ne\mu}\frac{L}{S} \quad (8.13)}$$

Georg Ohm

- La résistance R est proportionnelle à la longueur L du fil et inversement proportionnelle à sa section S.

8.4 Résistance d'un conducteur

Expérience :

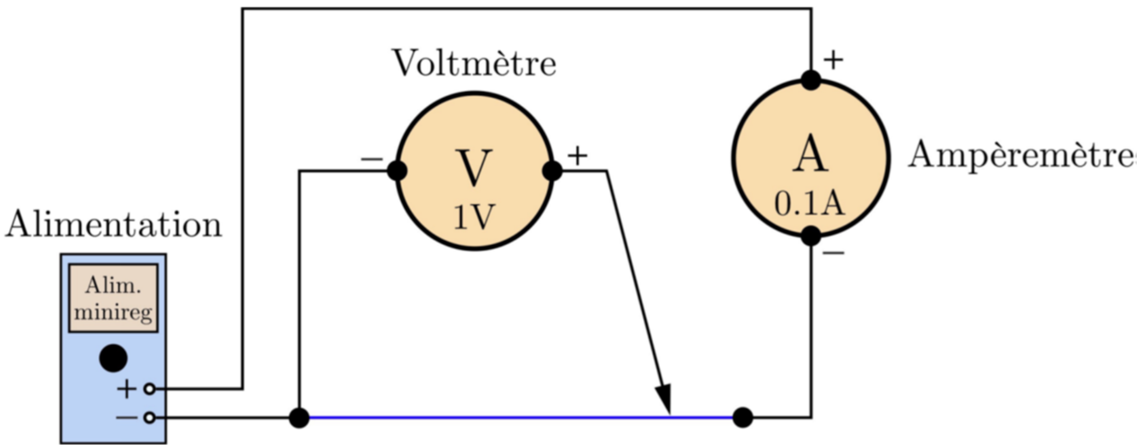

8.4 Résistance d’un conducteur

Expérience : Loi d’Ohm sur un fil

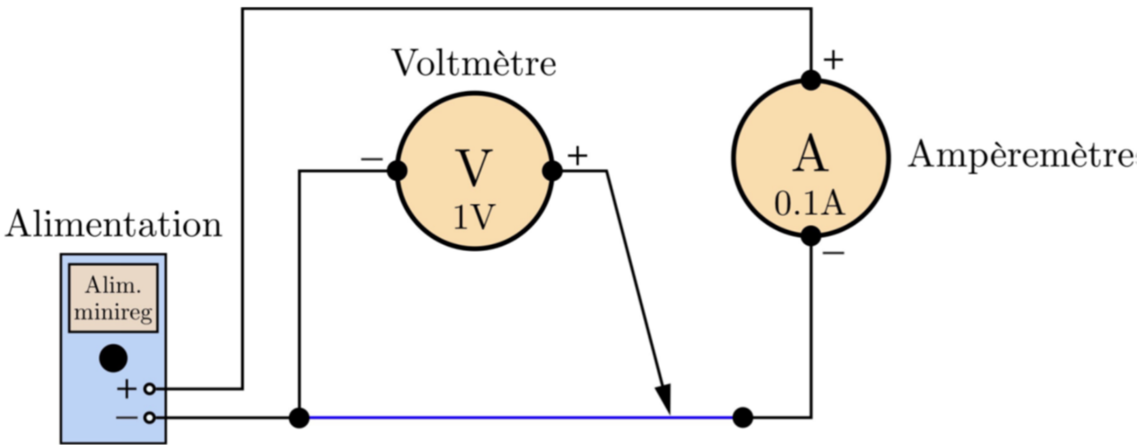

8.4 Résistance d'un conducteur

Expérience : Loi d'Ohm sur un fil

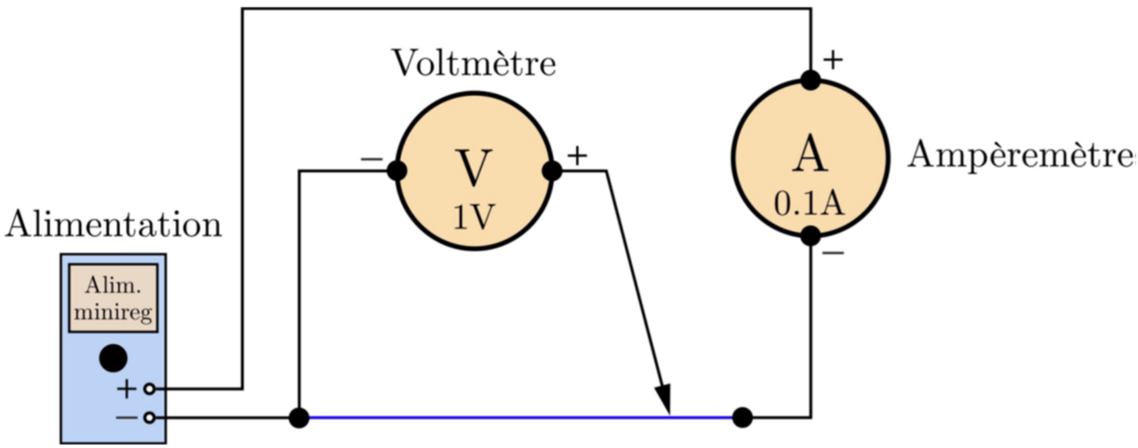

1. On mesure le courant I qui parcourt un fil à l'aide d'un ampèremètre.

2. On mesure la tension U aux bornes du même fil à l'aide d'un voltmètre.

3. On en déduit la résistance $R = U/I$ grâce à la loi d'Ohm.

8.4 Résistance d’un conducteur

8.4 Résistance d’un conducteur

- Unité (SI) de la résistance : l’Ohm [Ω] = [$V.A^{-1}$] = [$kg.m^2.s^{-3}.A^{-2}$]

8.4 Résistance d'un conducteur

- Unité (SI) de la résistance : l'Ohm [Ω] = [$V.A^{-1}$] = [$kg.m^{2}.s^{-3}.A^{-2}$]

- La résistance d'un matériau est caractérisée par sa <u>résistivité</u> ρ :

$$\boxed{R = \rho \frac{L}{S} \quad \text{où} \quad \rho = \frac{1}{ne\mu} \qquad (8.14)}$$

8.4 Résistance d'un conducteur

- Unité (SI) de la résistance : l'Ohm [Ω] = [V.A^{-1}] = [kg.m^{2}.s^{-3}.A^{-2}]

- La résistance d'un matériau est caractérisée par sa <u>résistivité</u> ρ :

$$\boxed{R = \rho \frac{L}{S} \quad \text{où} \quad \rho = \frac{1}{ne\mu} \quad (8.14)}$$

- La mobilité μ et la densité électronique n sont des grandeurs spécifiques au matériau qui sont indépendantes de sa géométrie.

- Unité physique (SI) de la résistivité : [Ω .m] = [kg.m^{3}.s^{-3}.A^{-2}]

8.4 Résistance d'un conducteur

- Unité (SI) de la résistance : l'Ohm [Ω] = [$V.A^{-1}$] = [$kg.m^2.s^{-3}.A^{-2}$]
- La résistance d'un matériau est caractérisée par sa <u>résistivité</u> ρ :

$$\boxed{R = \rho \frac{L}{S} \quad \text{où} \quad \rho = \frac{1}{ne\mu} \qquad (8.14)}$$

- La mobilité μ et la densité électronique n sont des grandeurs spécifiques au matériau qui sont indépendantes de sa géométrie.

- Unité physique (SI) de la résistivité : [Ω .m] = [$kg.m^3.s^{-3}.A^{-2}$]

<u>Exemples</u> : 1. cuivre, $\rho = 2 \times 10^{-8}\ \Omega.m$; 2. eau pure, $\rho = 2 \times 10^{5}\ \Omega.m$

8.4 Résistance d'un conducteur

- Unité (SI) de la résistance : l'Ohm $[\Omega] = [V.A^{-1}] = [kg.m^2.s^{-3}.A^{-2}]$
- La résistance d'un matériau est caractérisée par sa <u>résistivité</u> ρ :

$$\boxed{R = \rho\frac{L}{S} \quad \text{où} \quad \rho = \frac{1}{ne\mu} \quad (8.14)}$$

- La mobilité μ et la densité électronique n sont des grandeurs spécifiques au matériau qui sont indépendantes de sa géométrie.

- Unité physique (SI) de la résistivité : $[\Omega .m] = [kg.m^3.s^{-3}.A^{-2}]$

<u>Exemples</u> : 1. cuivre, $\rho = 2 \times 10^{-8}\ \Omega.m$; 2. eau pure, $\rho = 2 \times 10^{5}\ \Omega.m$

- La conductivité est l'inverse de la résistivité : $\boxed{\sigma = \frac{1}{\rho} \quad (8.15)}$

8.4 Résistance d’un conducteur

- Unité (SI) de la résistance : l’Ohm [Ω] = [V.A^{-1}] = [kg.m^2.s^{-3}.A^{-2}]

- La résistance d’un matériau est caractérisée par sa <u>résistivité</u> ρ :

$$\boxed{R = \rho \frac{L}{S} \quad \text{où} \quad \rho = \frac{1}{ne\mu} \quad (8.14)}$$

- La mobilité μ et la densité électronique n sont des grandeurs spécifiques au matériau qui sont indépendantes de sa géométrie.

- Unité physique (SI) de la résistivité : [Ω .m] = [kg.m^3.s^{-3}.A^{-2}]

<u>Exemples</u> : 1. cuivre, $\rho = 2 \times 10^{-8}\ \Omega$.m; 2. eau pure, $\rho = 2 \times 10^{5}\ \Omega$.m

- La conductivité est l’inverse de la résistivité : $\boxed{\sigma = \frac{1}{\rho} \quad (8.15)}$

- Un conducteur a une faible résistivité et donc une grande conductivité alors qu’un isolant a une faible conductivité et donc une grande résistivité.

8.4 Résistance d'un conducteur

Expérience :

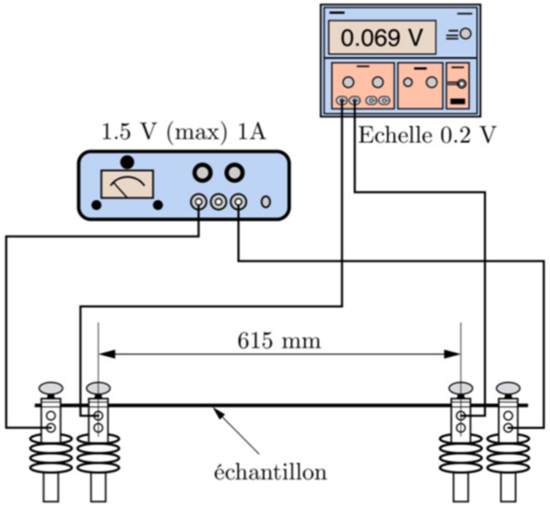

8.4 Résistance d'un conducteur

Expérience : Mesure de la résistivité de différents matériaux

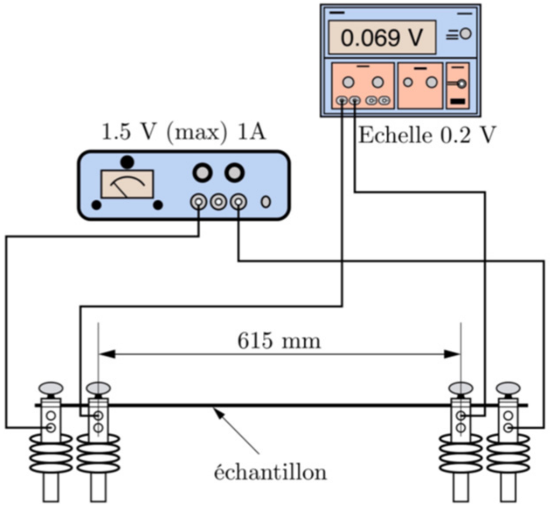

$\rho_{Al} = 28 \times 10^{-9}\ \Omega.m$

$\rho_{Cu} = 17 \times 10^{-9}\ \Omega.m$

$\rho_{acier} = 75 \times 10^{-8}\ \Omega.m$

8.4 Résistance d'un conducteur

Expérience : Mesure de la résistivité de différents matériaux

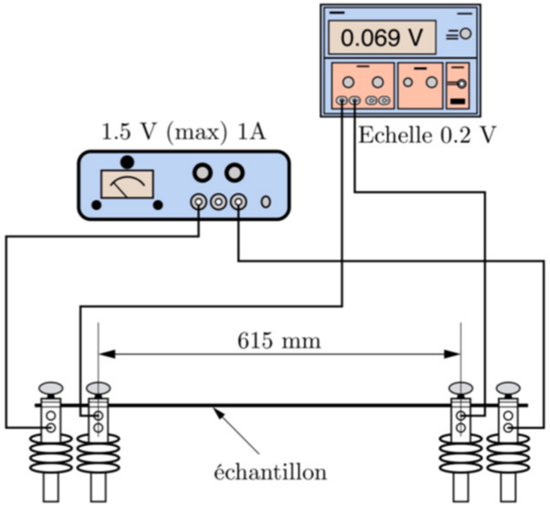

$\rho_{Al} = 28 \times 10^{-9}\ \Omega.\text{m}$
$\rho_{Cu} = 17 \times 10^{-9}\ \Omega.\text{m}$
$\rho_{acier} = 75 \times 10^{-8}\ \Omega.\text{m}$

1. On mesure le courant I et la tension U aux bornes d'un fil d'aluminium, d'acier inox et de cuivre.

2. Le rapport entre la tension U et le courant I donne la résistance R du fil.

3. En divisant la résistance par la longueur l du fil et en le multipliant par la section S, on trouve la résistivité ρ du fil.

8.4.1 Effet Joule

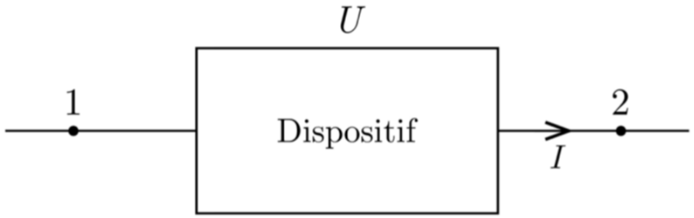

(chauffage électrique)

James Joule

8.4.1 *Effet Joule*

- Lorsqu'un courant circule dans un fil ou un dispositif de résistance *R*, la puissance électrique est convertie en puissance thermique.

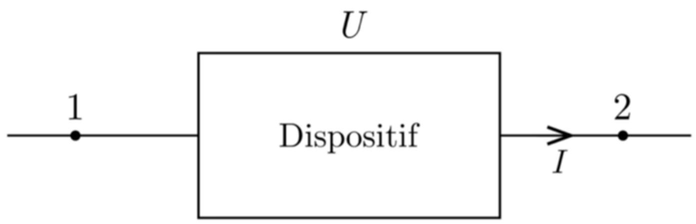

(chauffage électrique)

James Joule

8.4.1 Effet Joule

- Lorsqu'un courant circule dans un fil ou un dispositif de résistance R, la puissance électrique est convertie en puissance thermique.

- Soit U la tension aux bornes de la résistance, la puissance électrique s'écrit :

$$\boxed{P = UI \overset{(8.13)}{=} \frac{U^2}{R} = RI^2 \quad (8.16)}$$

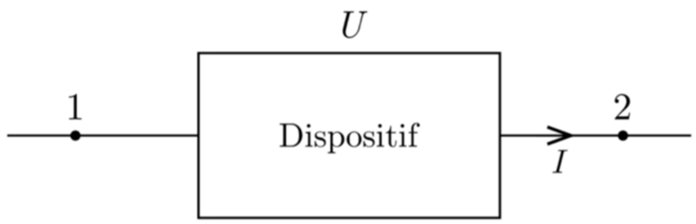

(chauffage électrique)

James Joule

8.4.1 Effet Joule

- Lorsqu'un courant circule dans un fil ou un dispositif de résistance *R*, la puissance électrique est convertie en puissance thermique.

- Soit *U* la tension aux bornes de la résistance, la puissance électrique s'écrit :

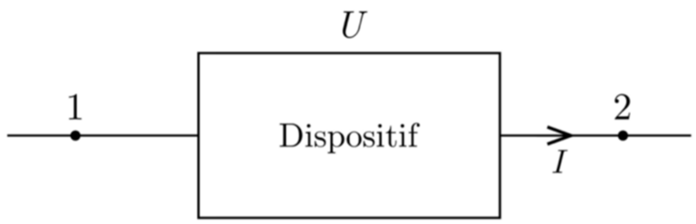

(chauffage électrique)

$$\boxed{P = UI \overset{(8.13)}{=} \frac{U^2}{R} = RI^2 \quad (8.16)}$$

- Si la puissance électrique *P* est constante durant un intervalle de temps Δt, le travail fournit au dispositif s'écrit :

$$\boxed{W = P\Delta t = \frac{U^2}{R}\Delta t = RI^2\Delta t \quad (8.17)}$$


James Joule

8.4.1 Effet Joule

- Lorsqu'un courant circule dans un fil ou un dispositif de résistance R, la puissance électrique est convertie en puissance thermique.

- Soit U la tension aux bornes de la résistance, la puissance électrique s'écrit :

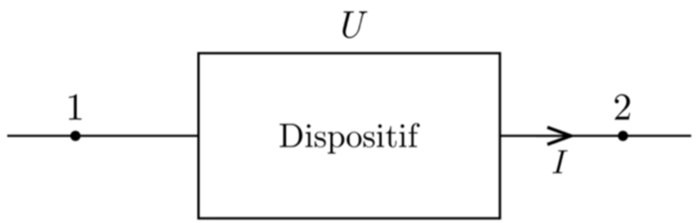

(chauffage électrique)

$$\boxed{P = UI \overset{(8.13)}{=} \frac{U^2}{R} = RI^2 \quad (8.16)}$$

- Si la puissance électrique P est constante durant un intervalle de temps Δt, le travail fournit au dispositif s'écrit :

$$\boxed{W = P\Delta t = \frac{U^2}{R}\Delta t = RI^2\Delta t \quad (8.17)}$$

- Ce travail est converti en chaleur dans la résistance, c'est l'effet Joule.

James Joule

8.4.2 Groupement de résistances

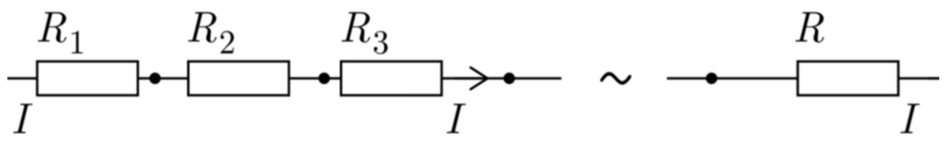

8.4.2 Groupement de résistances

1. Branchement de résistances en série :

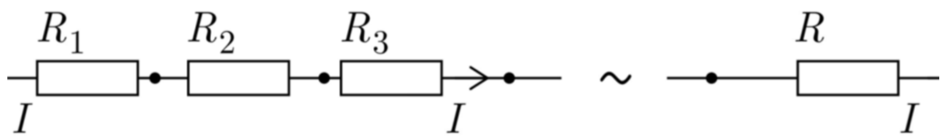

8.4.2 Groupement de résistances

1. Branchement de résistances en série :

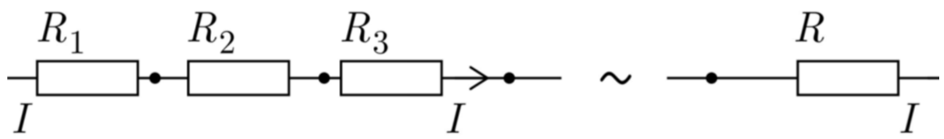

- Tension : $U = RI$; $U_1 = R_1 I$; $U_2 = R_2 I$; $U_3 = R_3 I$

$$U = U_1 + U_2 + U_3 = (R_1 + R_2 + R_3) I = RI$$

8.4.2 Groupement de résistances

1. Branchement de résistances en série :

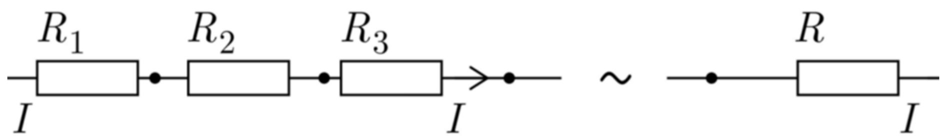

- Tension : $U = RI$; $U_1 = R_1 I$; $U_2 = R_2 I$; $U_3 = R_3 I$

$$U = U_1 + U_2 + U_3 = (R_1 + R_2 + R_3)I = RI$$

- Résistance : $\boxed{R = R_1 + R_2 + R_3 \quad (8.18)}$

8.4.2 Groupement de résistances

1. Branchement de résistances en série :

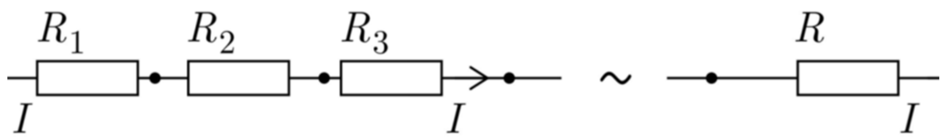

- Tension : $U = RI$; $U_1 = R_1 I$; $U_2 = R_2 I$; $U_3 = R_3 I$

$$U = U_1 + U_2 + U_3 = (R_1 + R_2 + R_3)I = RI$$

- Résistance : $\boxed{R = R_1 + R_2 + R_3 \quad (8.18)}$

- En série, les résistances s'additionnent.

8.4.2 Groupement de résistances

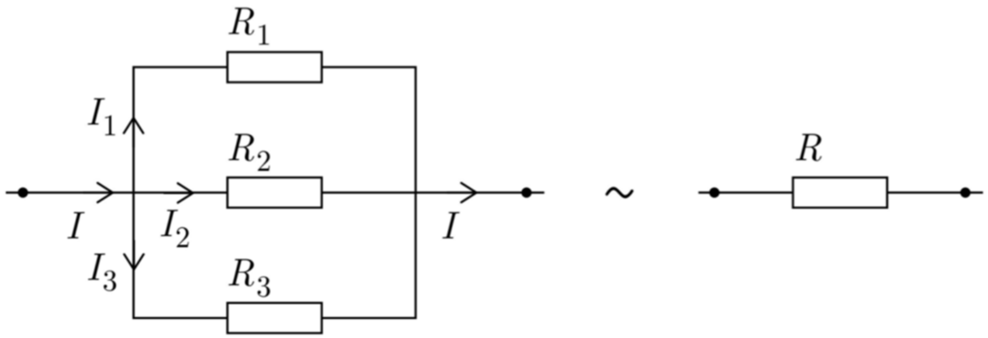

8.4.2 Groupement de résistances

2. Branchement de résistances en parallèle :

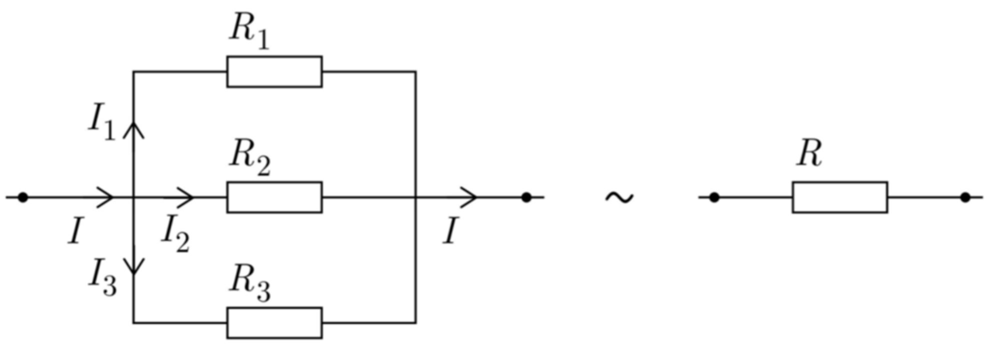

8.4.2 Groupement de résistances

2. Branchement de résistances en parallèle :

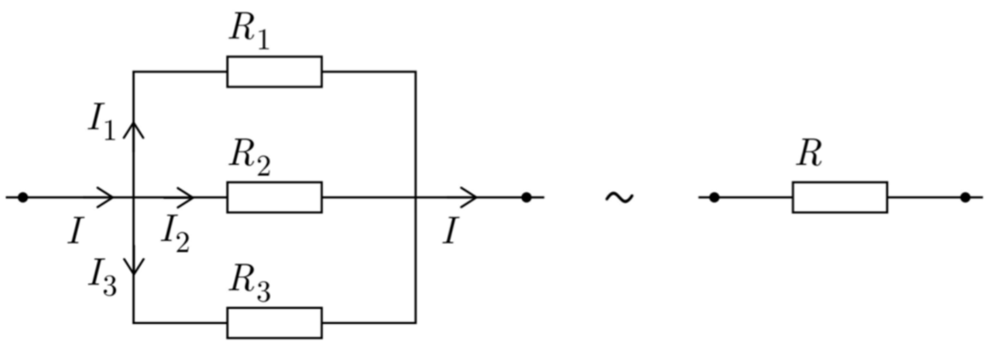

- Courants : $$I = \frac{U}{R}; I_1 = \frac{U}{R_1}; I_2 = \frac{U}{R_2}; I_3 = \frac{U}{R_3}$$

$$I = I_1 + I_2 + I_3 = \left(\frac{1}{R_1} + \frac{1}{R_2} + \frac{1}{R_3}\right)U = \frac{U}{R}$$

8.4.2 Groupement de résistances

2. Branchement de résistances en parallèle :

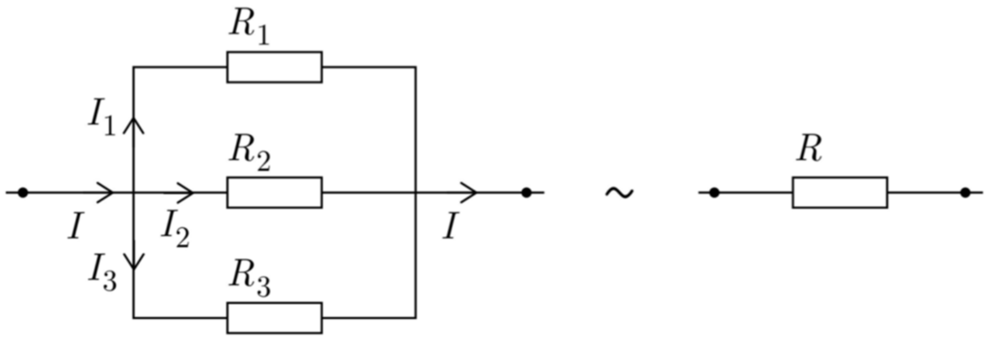

- Courants : $$I = \frac{U}{R} ; I_1 = \frac{U}{R_1} ; I_2 = \frac{U}{R_2} ; I_3 = \frac{U}{R_3}$$

$$I = I_1 + I_2 + I_3 = \left(\frac{1}{R_1} + \frac{1}{R_2} + \frac{1}{R_3} \right) U = \frac{U}{R}$$

- Résistance : $$\boxed{\frac{1}{R} = \frac{1}{R_1} + \frac{1}{R_2} + \frac{1}{R_3} \quad (8.19)}$$

8.4.2 Groupement de résistances

2. Branchement de résistances en parallèle :

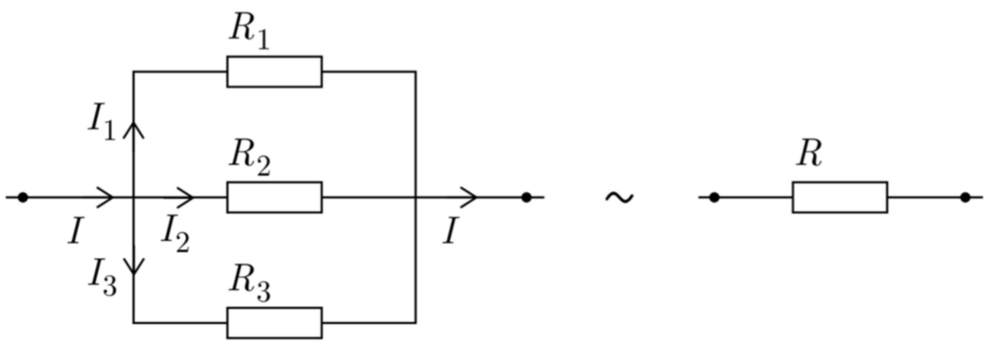

- Courants : $$I = \frac{U}{R}; I_1 = \frac{U}{R_1}; I_2 = \frac{U}{R_2}; I_3 = \frac{U}{R_3}$$

$$I = I_1 + I_2 + I_3 = \left(\frac{1}{R_1} + \frac{1}{R_2} + \frac{1}{R_3}\right)U = \frac{U}{R}$$

- Résistance : $$\boxed{\frac{1}{R} = \frac{1}{R_1} + \frac{1}{R_2} + \frac{1}{R_3} \quad (8.19)}$$

- En parallèle, les inverses des résistances s'additionnent.

8.5 Ampèremètre et voltmètre

8.5 Ampèremètre et voltmètre

Ampèremètre

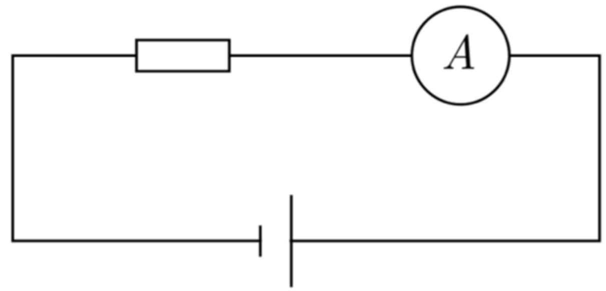

Voltmètre

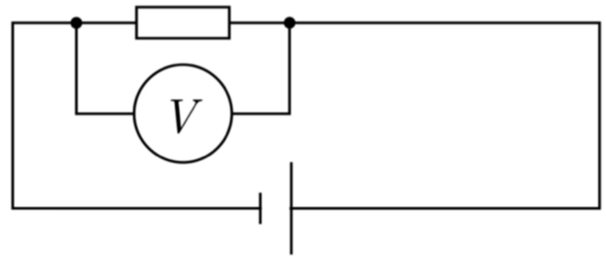

8.5 Ampèremètre et voltmètre

1. Ampèremètre :

Pour mesurer le courant traversant un élément de circuit, l'ampèremètre doit être branché en série avec cet élément. Sa résistance doit être la plus petite possible.

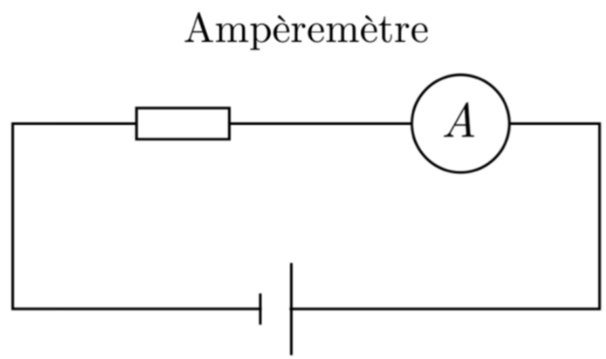

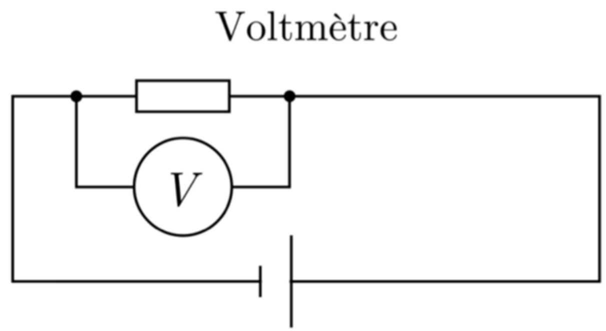

8.5 Ampèremètre et voltmètre

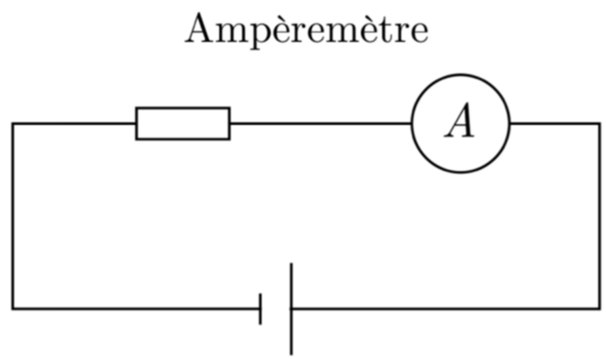

1. Ampèremètre :

Pour mesurer le courant traversant un élément de circuit, l'ampèremètre doit être branché en série avec cet élément. Sa résistance doit être la plus petite possible.

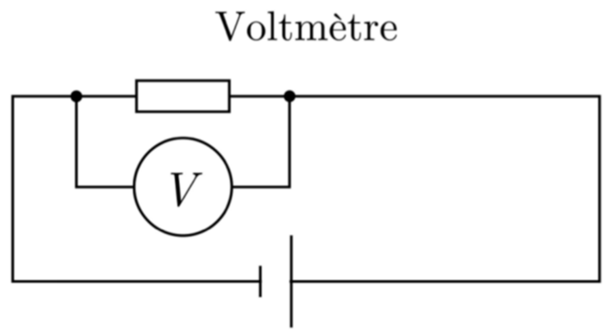

2. Voltmètre :

Pour mesurer la tension aux bornes d'un élément de circuit, le voltmètre doit être branché en parallèle avec cet élément. Sa résistance doit être la plus grande possible.

8.5 Ampèremètre et voltmètre

Expérience :

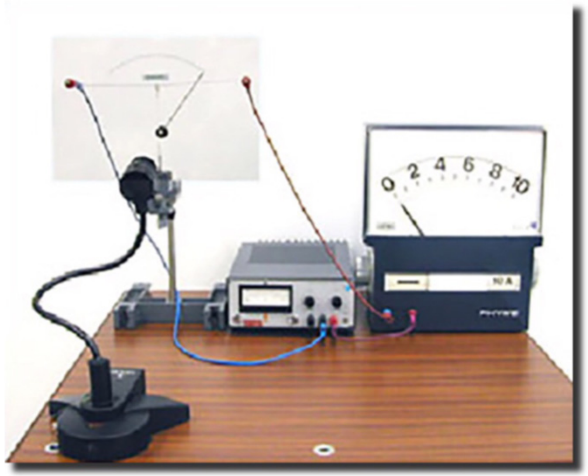

8.5 Ampèremètre et voltmètre

Expérience : Ampèremètre thermique

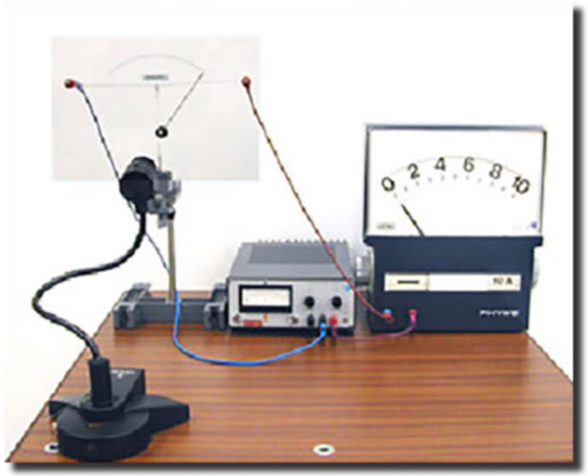

8.5 Ampèremètre et voltmètre

Expérience : Ampèremètre thermique

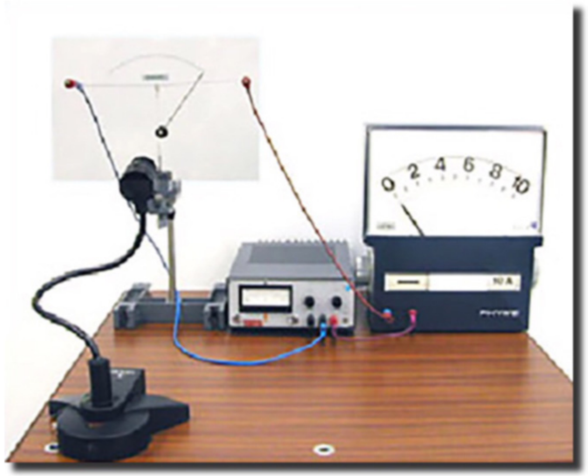

- On observe l'aiguille du dispositif monter ou descendre en fonction du courant qui circule dans le circuit, mesuré par un multimètre.

- Le courant qui circule dans le fil va dilater ce dernier par effet Joule. En fonction de la longueur du fil, l'aiguille indique une valeur particulière sur la graduation.

9. Magnétostatique

9.1 Champ magnétique et force de Lorentz

9.1 Champ magnétique et force de Lorentz

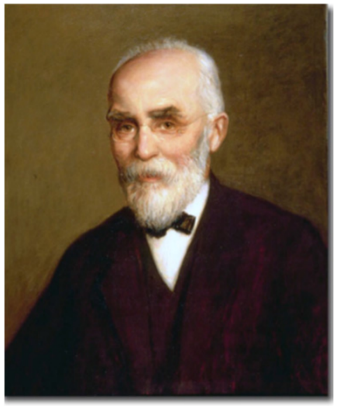

Hendrik Lorentz

Nikola Tesla

9.1 Champ magnétique et force de Lorentz

- <u>Champ magnétique</u> **B** : Grandeur vectorielle intensive définie en tout point de l'espace.

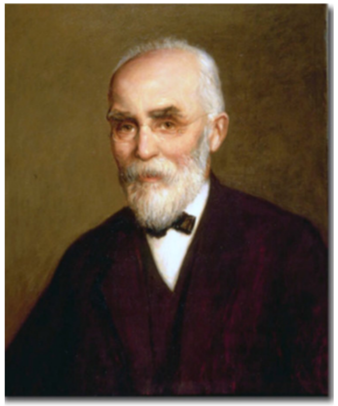

Hendrik Lorentz

Nikola Tesla

9.1 Champ magnétique et force de Lorentz

- Champ magnétique **B** : Grandeur vectorielle intensive définie en tout point de l'espace.

- Force de Lorentz **F** : En présence d'un champ magnétique **B** généré par un aimant ou un fil parcouru par un courant, une particule de charge électrique q en mouvement à la vitesse **v** subit une force de Lorentz (magnétique) **F** :

$$\boxed{\mathbf{F} = q\mathbf{v} \times \mathbf{B} \quad (9.1)}$$

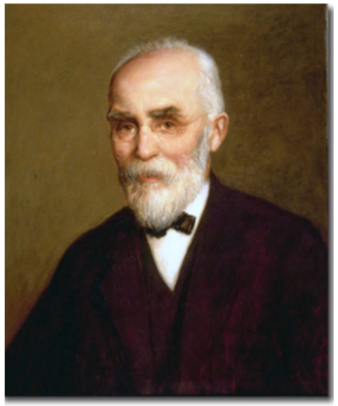

Hendrik Lorentz

Nikola Tesla

9.1 Champ magnétique et force de Lorentz

- Champ magnétique **B** : Grandeur vectorielle intensive définie en tout point de l'espace.

- Force de Lorentz **F** : En présence d'un champ magnétique **B** généré par un aimant ou un fil parcouru par un courant, une particule de charge électrique *q* en mouvement à la vitesse **v** subit une force de Lorentz (magnétique) **F** :

$$\boxed{\mathbf{F} = q\mathbf{v} \times \mathbf{B} \quad (9.1)}$$

- La force de Lorentz (magnétique) ne travaille pas, car elle est perpendiculaire au mouvement.

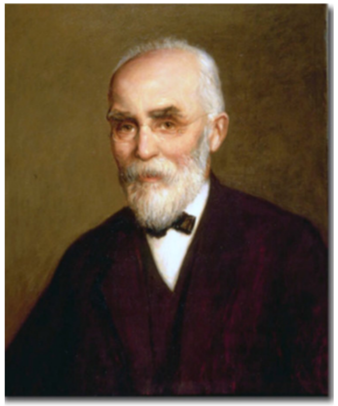

Hendrik Lorentz

Nikola Tesla

9.1 Champ magnétique et force de Lorentz

- Champ magnétique **B** : Grandeur vectorielle intensive définie en tout point de l'espace.

- Force de Lorentz **F** : En présence d'un champ magnétique **B** généré par un aimant ou un fil parcouru par un courant, une particule de charge électrique *q* en mouvement à la vitesse **v** subit une force de Lorentz (magnétique) **F** : $\boxed{\mathbf{F} = q\mathbf{v}\times\mathbf{B} \quad (9.1)}$

- La force de Lorentz (magnétique) ne travaille pas, car elle est perpendiculaire au mouvement.

- Unité physique (SI) du champ magnétique : le Tesla [T] = [N.s.C^{-1}.m^{-1}] = [kg.A^{-1}.s^{-2}]

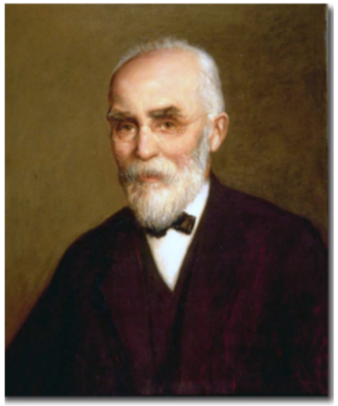

Hendrik Lorentz

Nikola Tesla

9.1.1 Lignes de champ magnétique générées par un courant

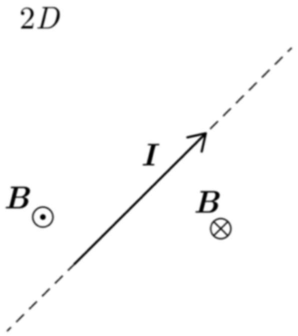

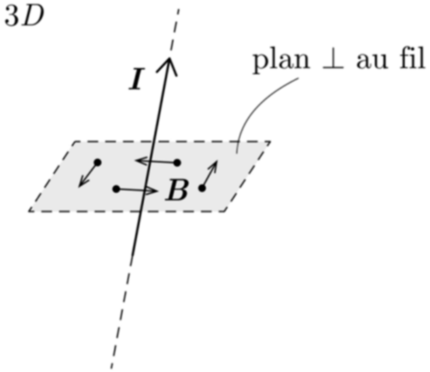

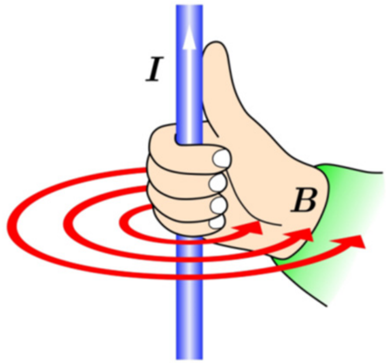

9.1.1 Lignes de champ magnétique générées par un courant

- Lorsqu'un fil est parcouru par un courant électrique **I**, les lignes de champ magnétique **B** sont des cercles concentriques centrés sur le fil dans un plan perpendiculaire au fil.

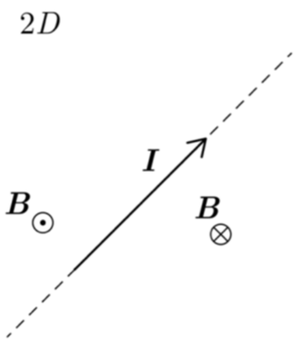

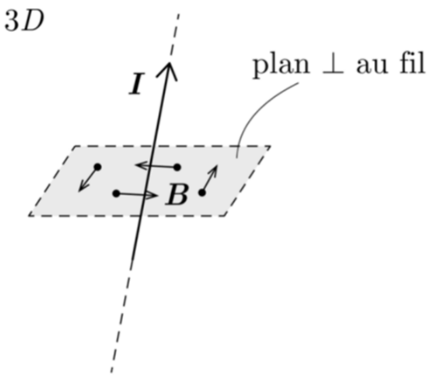

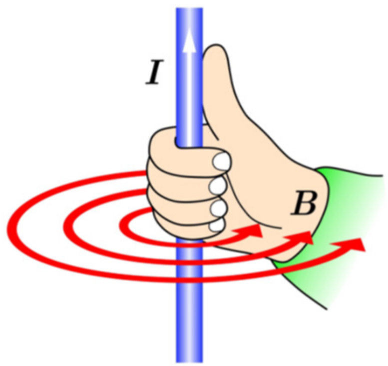

9.1.1 Lignes de champ magnétique générées par un courant

- Lorsqu'un fil est parcouru par un courant électrique **I**, les lignes de champ magnétique **B** sont des cercles concentriques centrés sur le fil dans un plan perpendiculaire au fil.

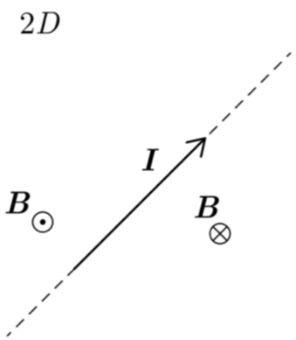

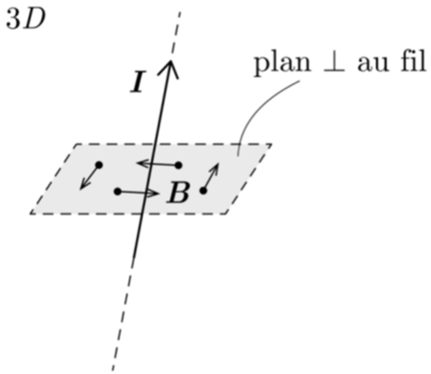

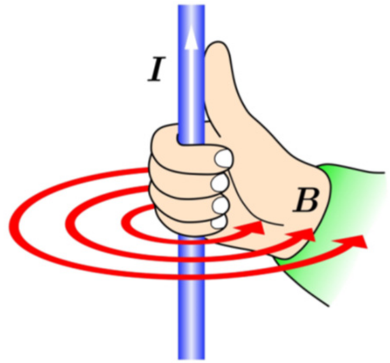

- Les lignes de champ magnétique **B** sont fermées.

9.1.1 Lignes de champ magnétique générées par un courant

- Lorsqu'un fil est parcouru par un courant électrique **I**, les lignes de champ magnétique **B** sont des cercles concentriques centrés sur le fil dans un plan perpendiculaire au fil.

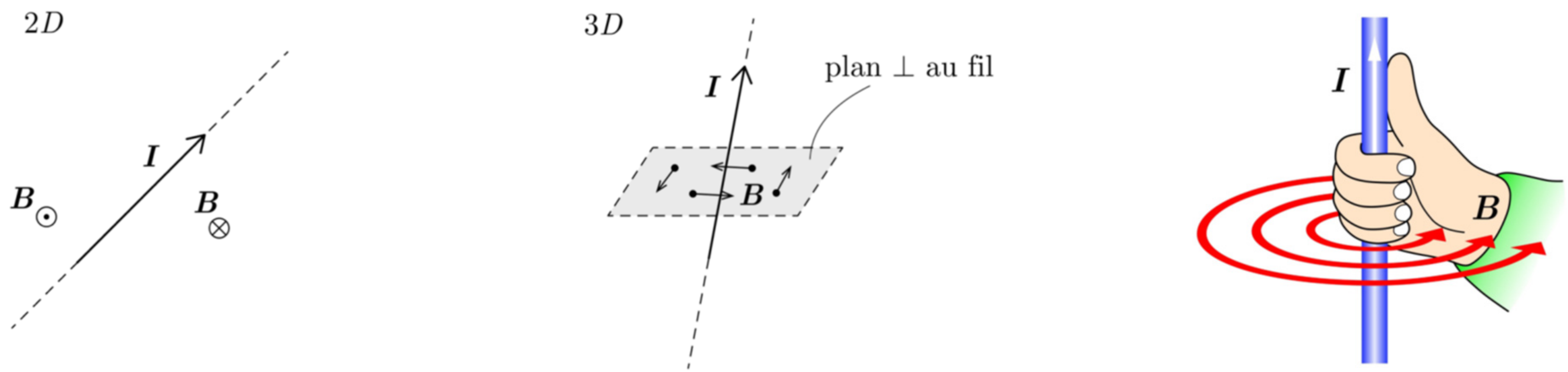

- Les lignes de champ magnétique **B** sont fermées.

- Leur orientation par rapport à la direction de propagation du courant électrique **I** est donnée par la règle du tire-bouchon (ou de la main droite), c'est la Loi d'Ampère.

9.1.2 Mvt d'une partic. chargée dans un champ magn. unif. et cst

9.1.2 Mvt d'une partic. chargée dans un champ magn. unif. et cst

- La loi du mouvement s'écrit :

$$\boxed{\mathbf{F} = q\mathbf{v} \times \mathbf{B} = m\mathbf{a} \quad (9.2)}$$

9.1.2 Mvt d'une partic. chargée dans un champ magn. unif. et cst

- La loi du mouvement s'écrit :

$$\boxed{\mathbf{F} = q\mathbf{v} \times \mathbf{B} = m\mathbf{a} \quad (9.2)}$$

- Le mouvement de la particule a les propriétés suivantes :

$$\mathbf{a} \cdot \mathbf{v} = \frac{q}{m}(\mathbf{v} \times \mathbf{B}) \cdot \mathbf{v} = 0 \quad \Rightarrow \quad \mathbf{a} \perp \mathbf{v}$$

$$\mathbf{a} \cdot \mathbf{v} = \dot{\mathbf{v}} \cdot \mathbf{v} = \frac{1}{2}\frac{d}{dt}v^2 = 0 \quad \Rightarrow \quad v = \text{cste}$$

9.1.2 Mvt d'une partic. chargée dans un champ magn. unif. et cst

- La loi du mouvement s'écrit :

$$\boxed{\mathbf{F} = q\mathbf{v}\times\mathbf{B} = m\mathbf{a} \quad (9.2)}$$

- Le mouvement de la particule a les propriétés suivantes :

$$\mathbf{a}\cdot\mathbf{v} = \frac{q}{m}\left(\mathbf{v}\times\mathbf{B}\right)\cdot\mathbf{v} = 0 \quad \Rightarrow \quad \mathbf{a}\perp\mathbf{v}$$

$$\mathbf{a}\cdot\mathbf{v} = \dot{\mathbf{v}}\cdot\mathbf{v} = \frac{1}{2}\frac{d}{dt}v^2 = 0 \quad \Rightarrow \quad v = \text{cste}$$

- L'accélération de la particule est une accélération centripète et la norme v de la vitesse est une constante.

9.1.2 *Mvt d'une partic. chargée dans un champ magn. unif. et cst*

- La loi du mouvement s'écrit :

$$\boxed{\mathbf{F} = q\mathbf{v} \times \mathbf{B} = m\mathbf{a} \quad (9.2)}$$

- Le mouvement de la particule a les propriétés suivantes :

$$\mathbf{a} \cdot \mathbf{v} = \frac{q}{m}\left(\mathbf{v} \times \mathbf{B}\right) \cdot \mathbf{v} = 0 \quad \Rightarrow \quad \mathbf{a} \perp \mathbf{v}$$

$$\mathbf{a} \cdot \mathbf{v} = \dot{\mathbf{v}} \cdot \mathbf{v} = \frac{1}{2}\frac{d}{dt}v^2 = 0 \quad \Rightarrow \quad v = \text{cste}$$

- L'accélération de la particule est une accélération centripète et la norme v de la vitesse est une constante.

- Deux cas :
  1. Le mouvement est orthogonal au champ magnétique : $\mathbf{v} \perp \mathbf{B}$
  2. Le mouvement est quelconque.

9.1.2 Mvt d'une partic. chargée dans un champ magn. unif. et cst

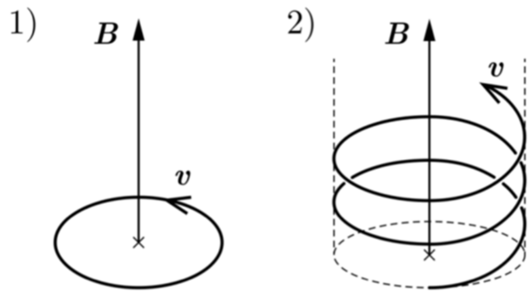

9.1.2 Mvt d'une partic. chargée dans un champ magn. unif. et cst

1. Mouvement circulaire uniforme (MCU) :

$$\mathbf{a} = -\frac{q}{m}\mathbf{B}\times\mathbf{v} = \boldsymbol{\omega}\times\mathbf{v} \text{ donc } \boxed{\boldsymbol{\omega} = -\frac{q\mathbf{B}}{m} \text{ et } \omega^2 = \frac{q^2B^2}{m^2} \quad (9.3)}$$

$$\mathbf{a} = -\omega^2\mathbf{r} = -\frac{q^2B^2}{m^2}\mathbf{r} = \frac{q^2B^2}{m^2}R\mathbf{e}_n \text{ où } \mathbf{r} = -R\mathbf{e}_n$$

$$v = \omega R = \frac{|q|B}{m}R \Rightarrow \boxed{R = \frac{mv}{|q|B} = \text{cste (rayon de courbure)} \quad (9.4)}$$

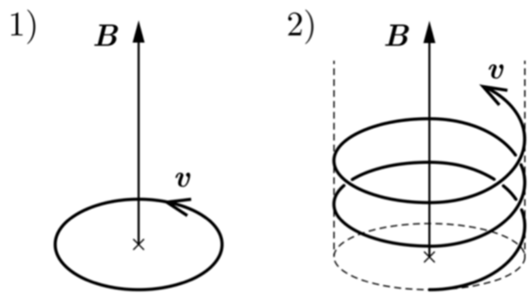

9.1.2 Mvt d'une partic. chargée dans un champ magn. unif. et cst

1. Mouvement circulaire uniforme (MCU) :

$$\mathbf{a} = -\frac{q}{m}\mathbf{B}\times\mathbf{v} = \boldsymbol{\omega}\times\mathbf{v} \text{ donc } \boxed{\boldsymbol{\omega} = -\frac{q\mathbf{B}}{m} \text{ et } \omega^2 = \frac{q^2B^2}{m^2} \quad (9.3)}$$

$$\mathbf{a} = -\omega^2\mathbf{r} = -\frac{q^2B^2}{m^2}\mathbf{r} = \frac{q^2B^2}{m^2}R\mathbf{e}_n \text{ où } \mathbf{r} = -R\mathbf{e}_n$$

$$v = \omega R = \frac{|q|B}{m}R \Rightarrow \boxed{R = \frac{mv}{|q|B} = \text{cste (rayon de courbure)} \quad (9.4)}$$

2. Mouvement hélicoïdal : $\mathbf{v} = \mathbf{v}_{//} + \mathbf{v}_{\perp}$

$$\mathbf{a} = \frac{q}{m}(\mathbf{v}\times\mathbf{B}) = \frac{q}{m}\left(\underbrace{\mathbf{v}_{\parallel}\times\mathbf{B}}_{=\mathbf{0}}\right) + \frac{q}{m}(\mathbf{v}_{\perp}\times\mathbf{B}) = \frac{q}{m}\mathbf{v}_{\perp}\times\mathbf{B} \Rightarrow \mathbf{v}_{\parallel} = \textbf{cste} \text{ (MRU)}$$

$$v_{\perp} = \overbrace{\frac{|q|B}{m}}^{=\omega}R \Rightarrow \boxed{R = \frac{mv_{\perp}}{|q|B} = \text{cste (rayon de courbure) (MCU)} \quad (9.5)}$$

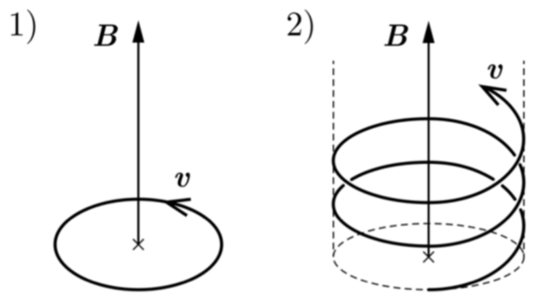

9.1.2 Mvt d'une partic. chargée dans un champ magn. unif. et cst

1. Mouvement circulaire uniforme (MCU) :

$$\mathbf{a} = -\frac{q}{m}\mathbf{B}\times\mathbf{v} = \boldsymbol{\omega}\times\mathbf{v} \text{ donc } \boxed{\boldsymbol{\omega} = -\frac{q\mathbf{B}}{m} \text{ et } \omega^2 = \frac{q^2B^2}{m^2} \quad (9.3)}$$

$$\mathbf{a} = -\omega^2\mathbf{r} = -\frac{q^2B^2}{m^2}\mathbf{r} = \frac{q^2B^2}{m^2}R\mathbf{e}_n \text{ où } \mathbf{r} = -R\mathbf{e}_n$$

$$v = \omega R = \frac{|q|B}{m}R \Rightarrow \boxed{R = \frac{mv}{|q|B} = \text{cste (rayon de courbure)} \quad (9.4)}$$

2. Mouvement hélicoïdal : $\mathbf{v} = \mathbf{v}_{//} + \mathbf{v}_{\perp}$

$$\mathbf{a} = \frac{q}{m}(\mathbf{v}\times\mathbf{B}) = \frac{q}{m}\left(\underbrace{\mathbf{v}_{\parallel}\times\mathbf{B}}_{=\mathbf{0}}\right) + \frac{q}{m}(\mathbf{v}_{\perp}\times\mathbf{B}) = \frac{q}{m}\mathbf{v}_{\perp}\times\mathbf{B} \Rightarrow \mathbf{v}_{\parallel} = \mathbf{cste} \text{ (MRU)}$$

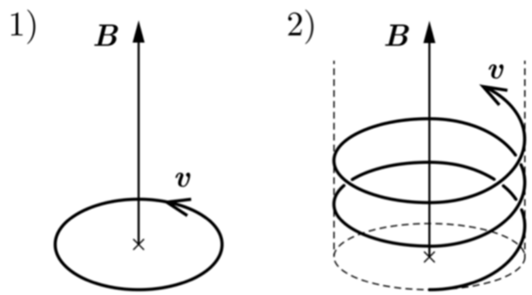

$$v_{\perp} = \frac{\overbrace{|q|B}^{=\omega}}{m}R \Rightarrow \boxed{R = \frac{mv_{\perp}}{|q|B} = \text{cste (rayon de courbure) (MCU)} \quad (9.5)}$$

- La combinaison entre un MRU selon **B** et un MCU dans un plan perpendiculaire à **B** est un mouvement hélicoïdal (hélice).

9.1.2 Mvt d'une partic. chargée dans un champ magn. unif. et cst

Expérience :

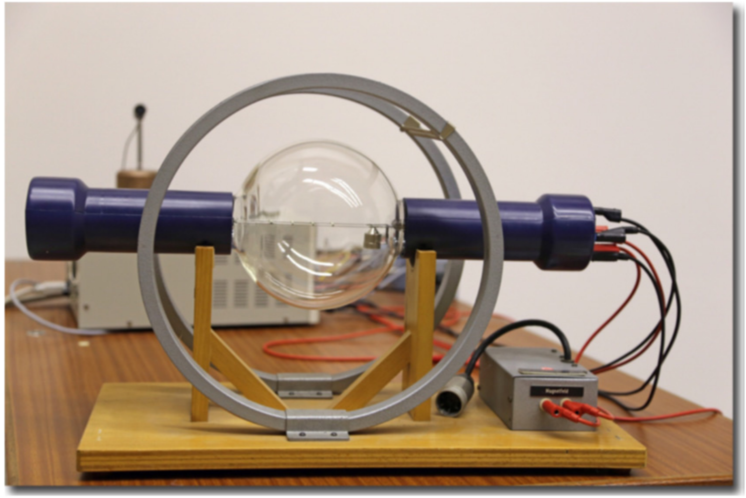

9.1.2 Mvt d’une partic. chargée dans un champ magn. unif. et cst

Expérience : Faisceau d’électrons dans un champ magnétique

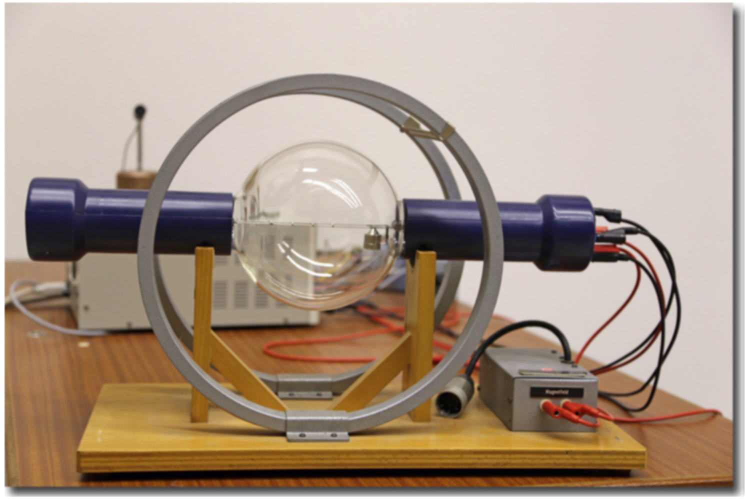

9.1.2 Mvt d'une partic. chargée dans un champ magn. unif. et cst

Expérience : Faisceau d'électrons dans un champ magnétique

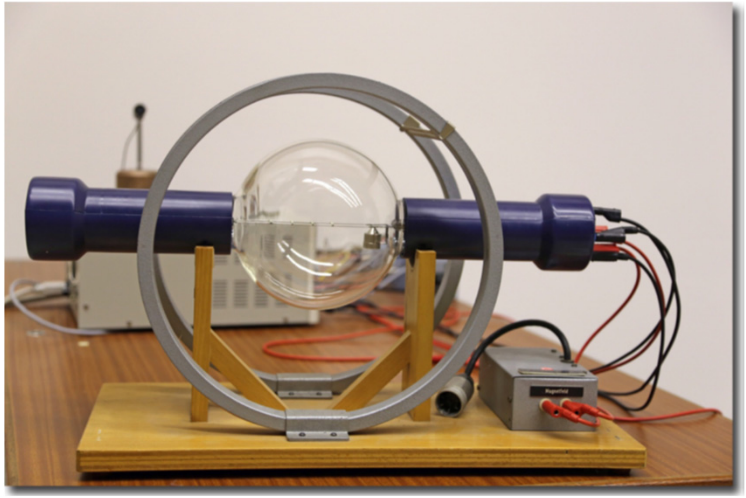

Si le faisceau est perpendiculaire au champ magnétique, on observe une trajectoire circulaire. Si le faisceau est parallèle au champ, on observe une trajectoire rectiligne. Dans le cas général, la trajectoire est hélicoïdale.

9.1.3 Cyclotron, accélérateur de particules

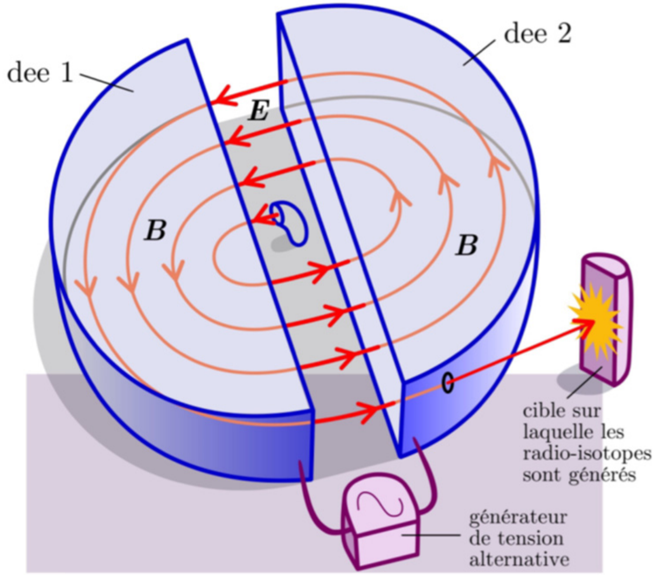

Cyclotron

9.1.3 Cyclotron, accélérateur de particules

- Le cyclotron est un accélérateur de particules chargées, formé de deux demi-cylindres creux (« D » ou dee) plongés dans un champ magnétique **B** uniforme.

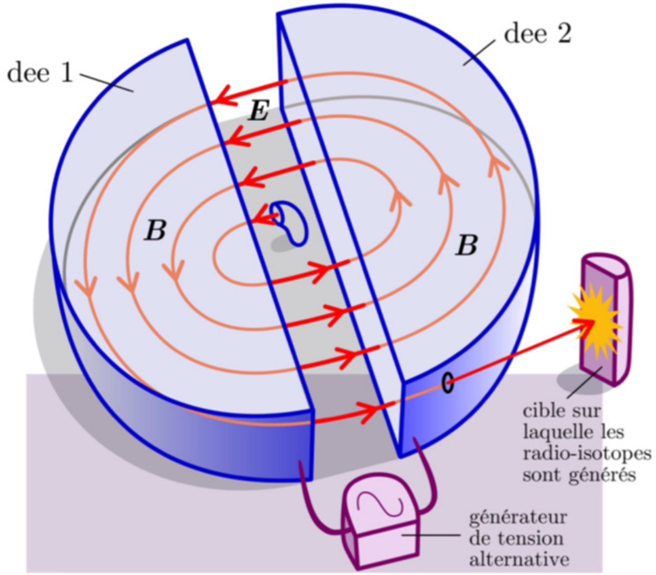

Cyclotron

9.1.3 Cyclotron, accélérateur de particules

- Le cyclotron est un accélérateur de particules chargées, formé de deux demi-cylindres creux (« D » ou dee) plongés dans un champ magnétique **B** uniforme.

- Dans chaque dee, les particules ont un MCU de rayon de courbure :

$$\boxed{R = \frac{mv}{|q|B} \quad (9.4)}$$

et une demi-période : $\frac{T}{2} = \frac{\pi}{\omega} = \frac{\pi m}{|q|B} \Rightarrow \boxed{\nu = \frac{1}{T} = \frac{|q|B}{2\pi m} \quad (9.6)}$

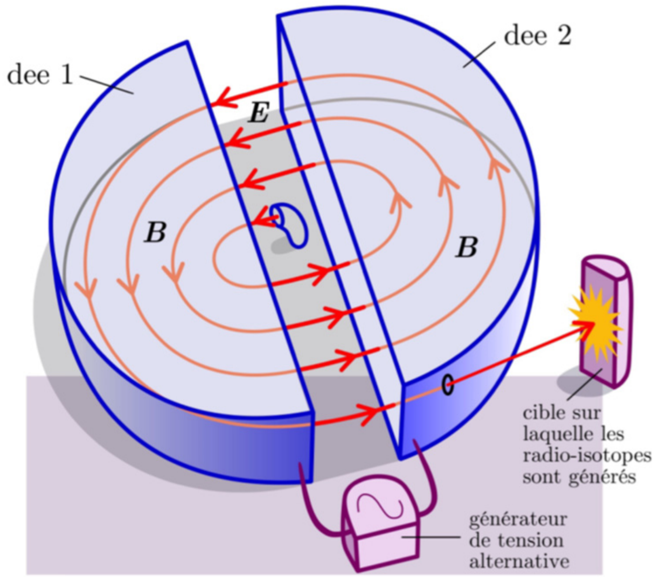

Cyclotron

9.1.3 Cyclotron, accélérateur de particules

- Le cyclotron est un accélérateur de particules chargées, formé de deux demi-cylindres creux (« D » ou dee) plongés dans un champ magnétique **B** uniforme.

- Dans chaque dee, les particules ont un MCU de rayon de courbure :

$$\boxed{R = \frac{mv}{|q|B} \quad (9.4)}$$

et une demi-période : $\frac{T}{2} = \frac{\pi}{\omega} = \frac{\pi m}{|q|B} \Rightarrow \boxed{\nu = \frac{1}{T} = \frac{|q|B}{2\pi m} \quad (9.6)}$

- L'accélération est due à un champ électrique **E** uniforme entre les dees.

$$\boxed{ma = qE \Rightarrow a = \frac{q}{m}E \quad (9.7)}$$

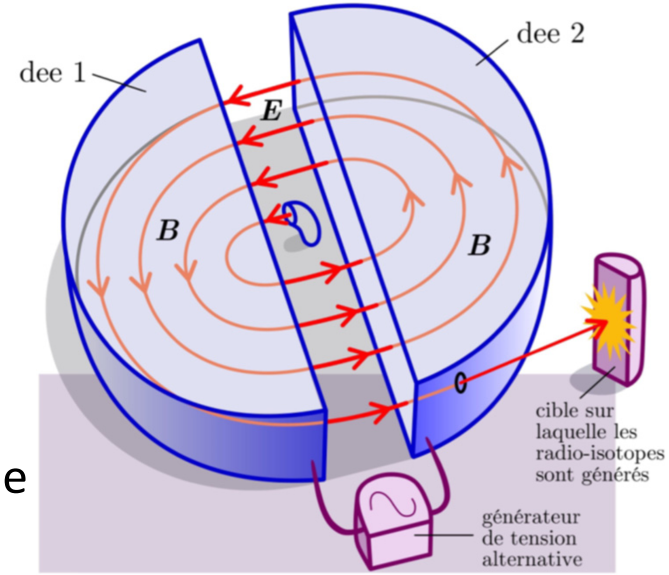

Cyclotron

9.1.3 Cyclotron, accélérateur de particules

- Le cyclotron est un accélérateur de particules chargées, formé de deux demi-cylindres creux (« D » ou dee) plongés dans un champ magnétique **B** uniforme.

- Dans chaque dee, les particules ont un MCU de rayon de courbure :

$$\boxed{R = \frac{mv}{|q|B} \quad (9.4)}$$

et une demi-période : $\frac{T}{2} = \frac{\pi}{\omega} = \frac{\pi m}{|q|B} \Rightarrow \boxed{\nu = \frac{1}{T} = \frac{|q|B}{2\pi m} \quad (9.6)}$

- L'accélération est due à un champ électrique **E** uniforme entre les dees.

$$\boxed{ma = qE \Rightarrow a = \frac{q}{m}E \quad (9.7)}$$

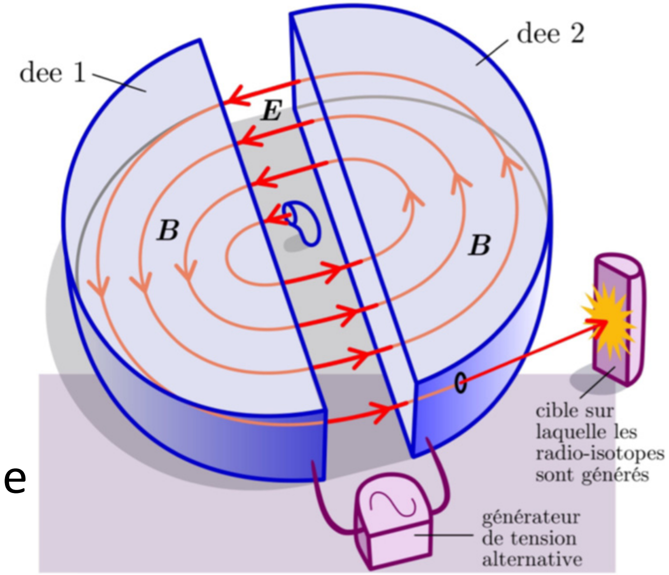

Cyclotron

- À chaque demi-tour, la vitesse augmente et donc également le rayon de courbure R.

9.1.4 Effet Hall

Edwin Hall

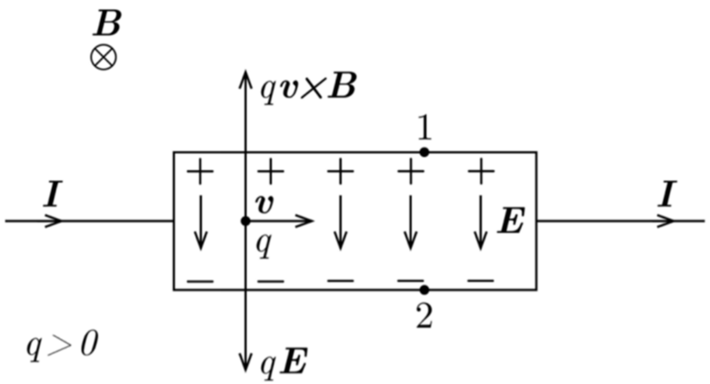

9.1.4 Effet Hall

- En présence d'un champ électrique **E** et d'un champ magnétique **B**, la force de Lorentz **F** exercée sur une charge en mouvement se généralise à :

$$\boxed{\mathbf{F} = q\left(\mathbf{E} + \mathbf{v} \times \mathbf{B}\right) \quad (9.8)}$$

Edwin Hall

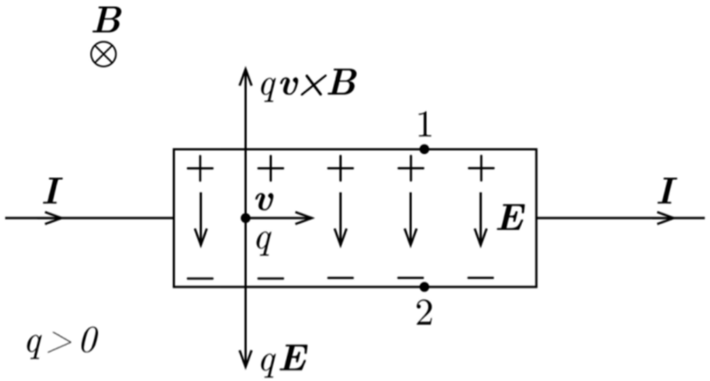

9.1.4 *Effet Hall*

- En présence d'un champ électrique **E** et d'un champ magnétique **B**, la force de Lorentz **F** exercée sur une charge en mouvement se généralise à :

$$\boxed{\mathbf{F} = q\left(\mathbf{E} + \mathbf{v} \times \mathbf{B}\right) \quad (9.8)}$$

Edwin Hall

- <u>Effet Hall</u> : Un courant dans une feuille métallique plongée dans un champ magnétique **B** induit une tension transversale U_{12}.

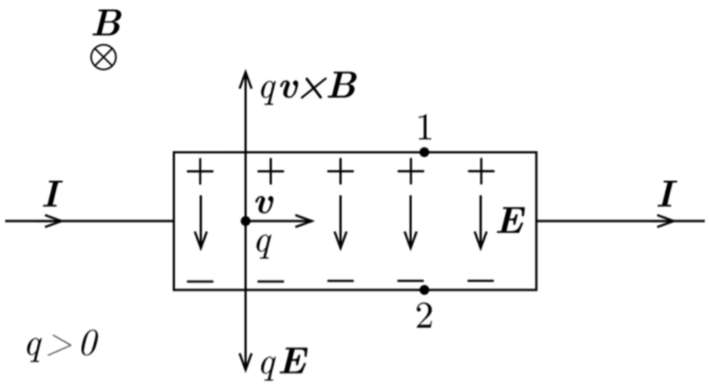

9.1.4 Effet Hall

- En présence d'un champ électrique **E** et d'un champ magnétique **B**, la force de Lorentz **F** exercée sur une charge en mouvement se généralise à :

$$\boxed{\mathbf{F} = q\left(\mathbf{E} + \mathbf{v} \times \mathbf{B}\right) \quad (9.8)}$$

Edwin Hall

- Effet Hall : Un courant dans une feuille métallique plongée dans un champ magnétique **B** induit une tension transversale U_{12}.

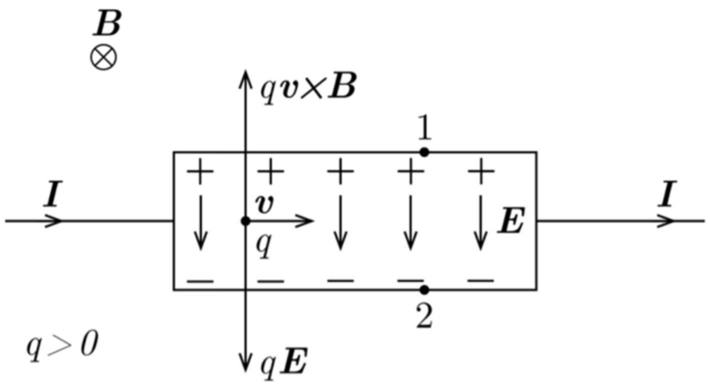

- Sous l'effet de la force de Lorentz **F**, les charges se séparent jusqu'à ce que la force électrique $\mathbf{F} = q\mathbf{E}$ compense la force magnétique $\mathbf{F} = q\mathbf{v} \times \mathbf{B}$.

$$\mathbf{F} = q(\mathbf{E} + \mathbf{v} \times \mathbf{B}) = \mathbf{0} \Rightarrow \mathbf{E} = -\mathbf{v} \times \mathbf{B}$$

9.1.4 Effet Hall

- En présence d'un champ électrique **E** et d'un champ magnétique **B**, la force de Lorentz **F** exercée sur une charge en mouvement se généralise à :

$$\boxed{\mathbf{F} = q\left(\mathbf{E} + \mathbf{v} \times \mathbf{B}\right) \quad (9.8)}$$

Edwin Hall

- Effet Hall : Un courant dans une feuille métallique plongée dans un champ magnétique **B** induit une tension transversale U_{12}.

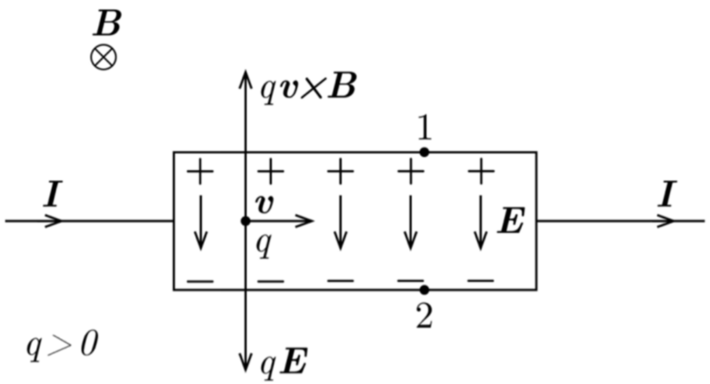

- Sous l'effet de la force de Lorentz **F**, les charges se séparent jusqu'à ce que la force électrique $\mathbf{F} = q\mathbf{E}$ compense la force magnétique $\mathbf{F} = q\mathbf{v} \times \mathbf{B}$.

$$\mathbf{F} = q(\mathbf{E} + \mathbf{v} \times \mathbf{B}) = \mathbf{0} \Rightarrow \mathbf{E} = -\mathbf{v} \times \mathbf{B}$$

- Il apparaît une tension transversale U_{12}.

9.2 Force de Laplace

9.2 Force de Laplace

Pierre-Simon de Laplace

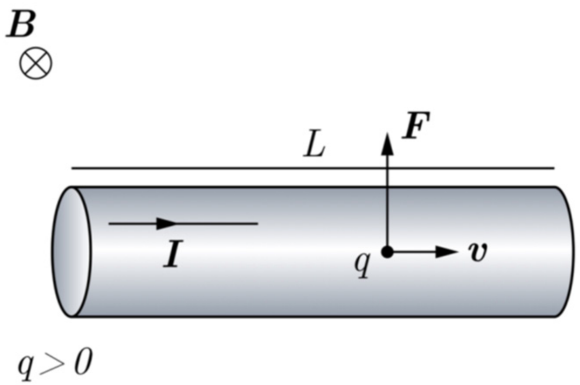

9.2 Force de Laplace

- On considère un fil de longueur L parcouru par un courant **I** et plongé dans un champ magnétique **B**.

Pierre-Simon de Laplace

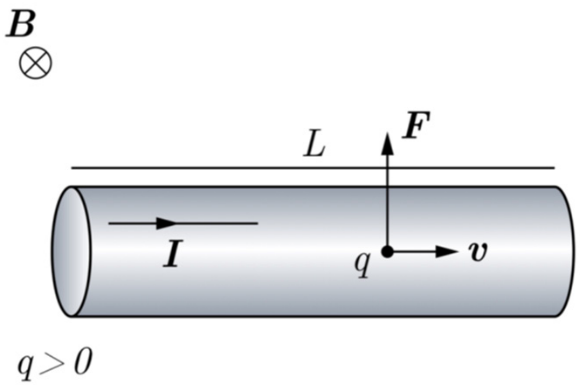

9.2 Force de Laplace

- On considère un fil de longueur L parcouru par un courant **I** et plongé dans un champ magnétique **B**.

- Les porteurs de charge électrique q subissent une force de Lorentz (magnétique) $\mathbf{F} = q\mathbf{v} \times \mathbf{B}$ qui s'exerce sur le fil. Ainsi, le fil subit une force de Laplace :

$$\boxed{\mathbf{F} = L\mathbf{I} \times \mathbf{B} \quad (9.9)}$$

Pierre-Simon de Laplace

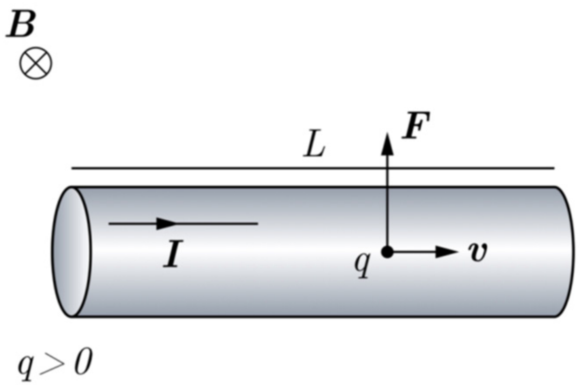

9.2.1 Force de Lorentz magnétique et force de Laplace

9.2.1 Force de Lorentz magnétique et force de Laplace

- La force extérieure résultante exercée sur un fil de longueur L est la résultante des forces de Lorentz magnétiques exercées sur tous les électrons de conduction : $\mathbf{F} = N(e\mathbf{v} \times \mathbf{B})$ où N = nb d'électrons de conduction.

9.2.1 Force de Lorentz magnétique et force de Laplace

- La force extérieure résultante exercée sur un fil de longueur L est la résultante des forces de Lorentz magnétiques exercées sur tous les électrons de conduction : $\mathbf{F} = N(e\mathbf{v} \times \mathbf{B})$ où N = nb d'électrons de conduction.

- Compte tenu que le courant $\mathbf{I} = enS\mathbf{v}$ où n est la densité des électrons de conduction dans le fil et de $N = nSL$, $\mathbf{F} = nSLe\mathbf{v} \times \mathbf{B} = L(enS\mathbf{v}) \times \mathbf{B} = L\mathbf{I} \times \mathbf{B}$

9.2.1 Force de Lorentz magnétique et force de Laplace

- La force extérieure résultante exercée sur un fil de longueur L est la résultante des forces de Lorentz magnétiques exercées sur tous les électrons de conduction : $\mathbf{F} = N(e\mathbf{v} \times \mathbf{B})$ où N = nb d'électrons de conduction.

- Compte tenu que le courant $\mathbf{I} = enS\mathbf{v}$ où n est la densité des électrons de conduction dans le fil et de $N = nSL$, $\mathbf{F} = nSLe\mathbf{v} \times \mathbf{B} = L(enS\mathbf{v}) \times \mathbf{B} = L\mathbf{I} \times \mathbf{B}$

- La force de Lorentz magnétique $\mathbf{F} = e\mathbf{v} \times \mathbf{B}$ est une force qui s'exerce à l'échelle microscopique sur un électron.

9.2.1 Force de Lorentz magnétique et force de Laplace

- La force extérieure résultante exercée sur un fil de longueur L est la résultante des forces de Lorentz magnétiques exercées sur tous les électrons de conduction : $\mathbf{F} = N(e\mathbf{v} \times \mathbf{B})$ où N = nb d'électrons de conduction.

- Compte tenu que le courant $\mathbf{I} = enS\mathbf{v}$ où n est la densité des électrons de conduction dans le fil et de $N = nSL$, $\mathbf{F} = nSLe\mathbf{v} \times \mathbf{B} = L(enS\mathbf{v}) \times \mathbf{B} = L\mathbf{I} \times \mathbf{B}$

- La force de Lorentz magnétique $\mathbf{F} = e\mathbf{v} \times \mathbf{B}$ est une force qui s'exerce à l'échelle microscopique sur un électron.

- La force de Laplace $\mathbf{F} = L\mathbf{I} \times \mathbf{B}$ est une force qui s'exerce à l'échelle macroscopique sur l'ensemble des électrons de conduction d'un fil.

9.2.2 Cas de deux fils parallèles parcourus par des courants

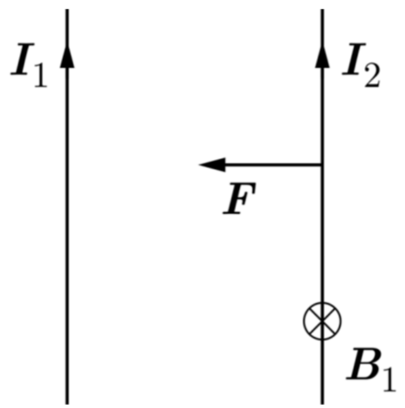

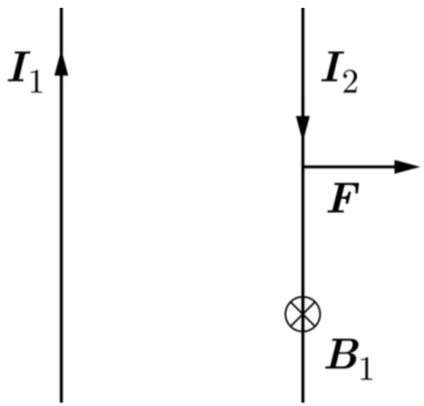

9.2.2 Cas de deux fils parallèles parcourus par des courants

1. Courants orientés dans le même sens :

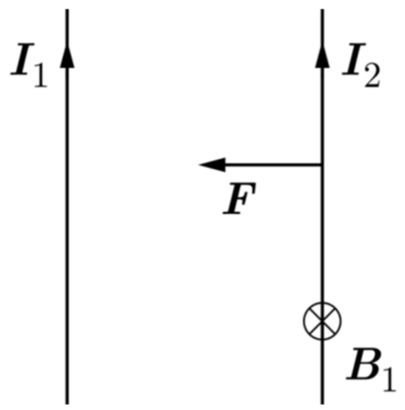

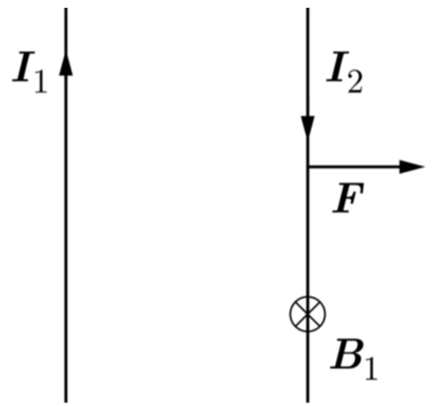

9.2.2 Cas de deux fils parallèles parcourus par des courants

1. Courants orientés dans le même sens :

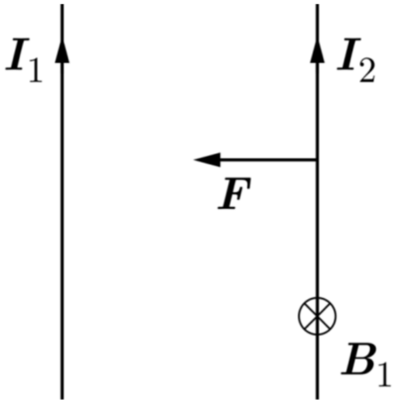

- Le courant $\mathbf{I_2}$ est plongé dans le champ magnétique $\mathbf{B_1}$ généré par le courant $\mathbf{I_1}$.

- Comme la force de Laplace **F** est orientée vers l'intérieur, les fils se rapprochent (force attractive).

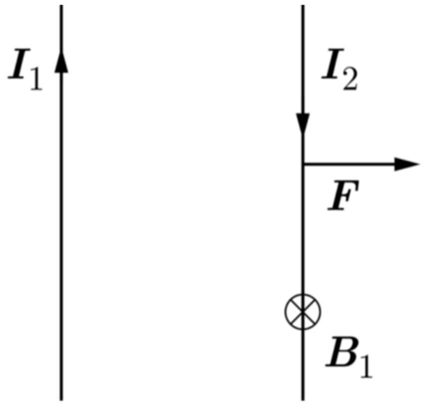

9.2.2 Cas de deux fils parallèles parcourus par des courants

1. Courants orientés dans le même sens :

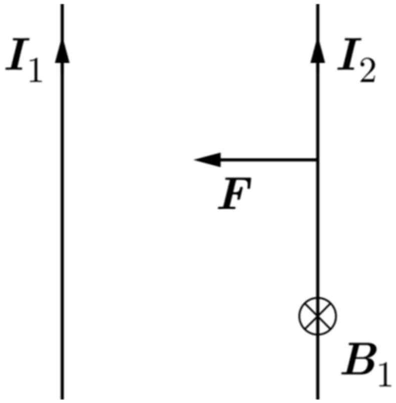

- Le courant $\mathbf{I_2}$ est plongé dans le champ magnétique $\mathbf{B_1}$ généré par le courant $\mathbf{I_1}$.
- Comme la force de Laplace **F** est orientée vers l'intérieur, les fils se rapprochent (force attractive).

2. Courants orientés dans le sens opposé :

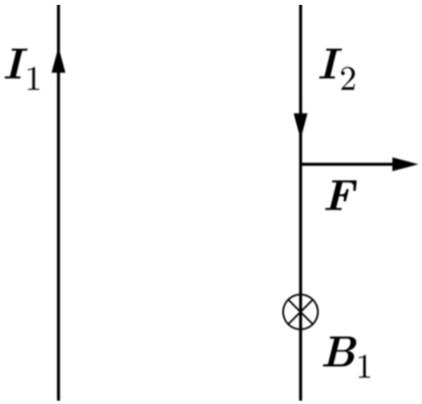

9.2.2 Cas de deux fils parallèles parcourus par des courants

1. Courants orientés dans le même sens :

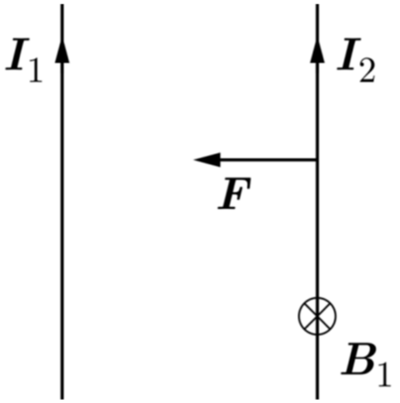

- Le courant $\mathbf{I_2}$ est plongé dans le champ magnétique $\mathbf{B_1}$ généré par le courant $\mathbf{I_1}$.
- Comme la force de Laplace **F** est orientée vers l'intérieur, les fils se rapprochent (force attractive).

2. Courants orientés dans le sens opposé :

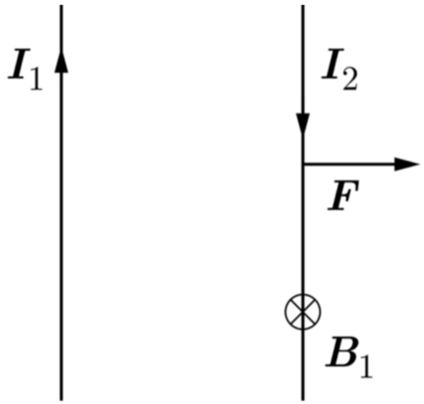

- Le courant $\mathbf{I_2}$ est plongé dans le champ magnétique $\mathbf{B_1}$ généré par le courant $\mathbf{I_1}$.
- Comme la force de Laplace **F** est orientée vers l'extérieur, les fils s'éloignent (force répulsive).

9.2.2 Cas de deux fils parallèles parcourus par des courants

Expérience :

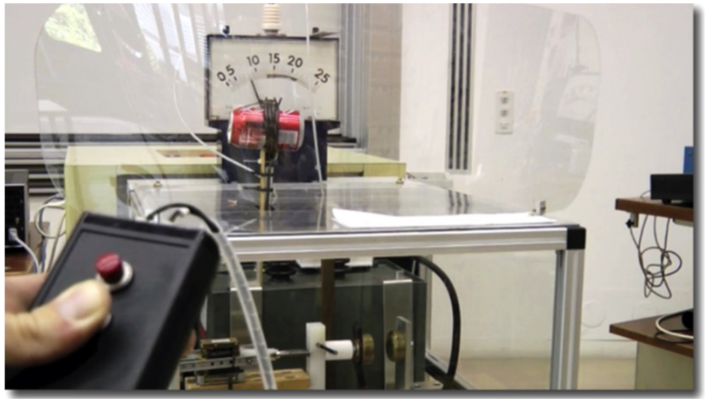

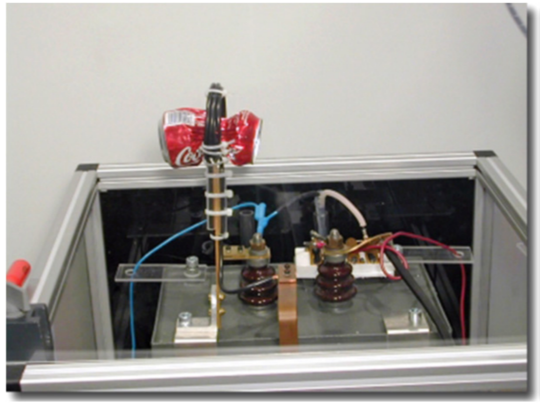

9.2.2 Cas de deux fils parallèles parcourus par des courants

Expérience : Force de Laplace exercée sur une canette

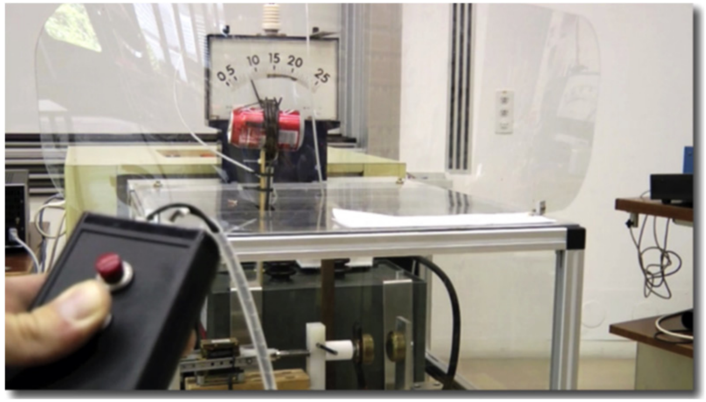

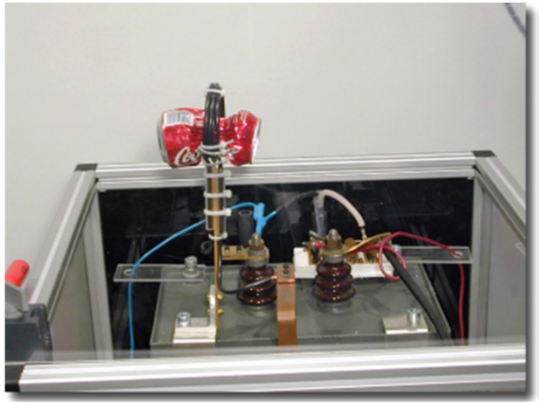

9.2.2 *Cas de deux fils parallèles parcourus par des courants*

Expérience : Force de Laplace exercée sur une canette

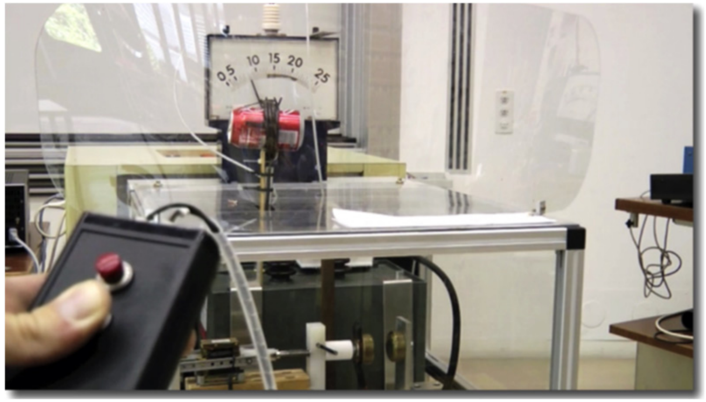

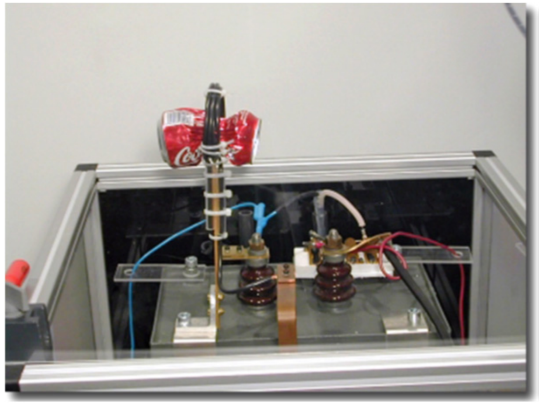

1. Le champ magnétique créé par la bobine induit le mouvement des charges électriques dans la canette ce qui génère une force de Laplace qui déforme la canette jusqu'à ce qu'elle se coupe en deux.

2. La force de Laplace qui s'exerce sur les extrémités (composante perpendiculaire à la bobine) éjecte puissamment les deux parties de la canette.

9.2.3 Galvanomètre

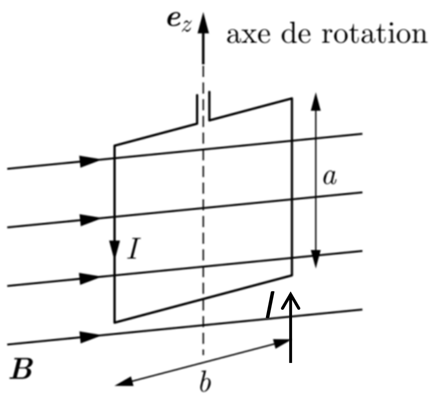

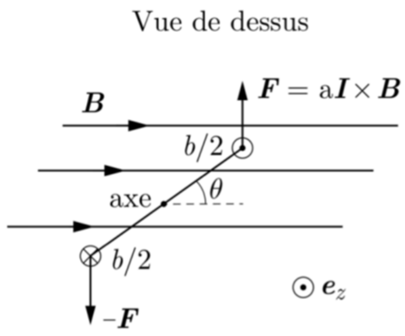

9.2.3 Galvanomètre

- Un galvanomètre est un cadre rectangulaire de côtés « *a* » et « *b* » mobile autour d'un axe. Le cadre est plongé dans un champ magnétique **B** uniforme et constant. Lorsque le cadre est parcouru par un courant **I**, ce dernier subit un moment de force de Laplace **M** = 2**r** × **F** compensé par un moment de force élastique **M** de constante élastique en torsion *C* :

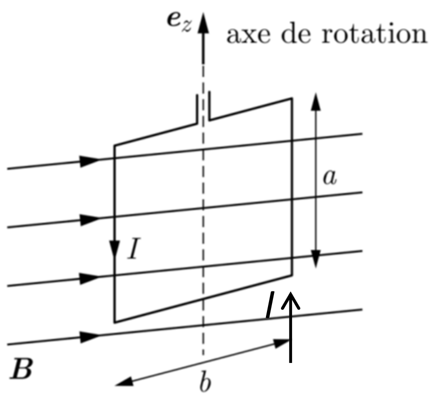

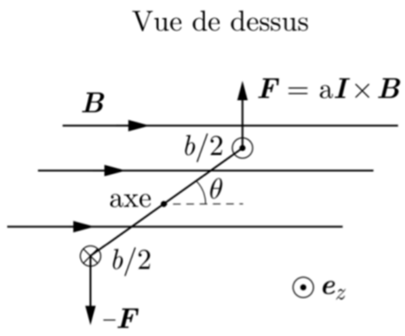

9.2.3 Galvanomètre

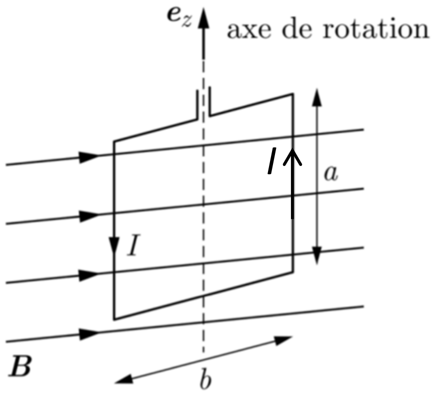

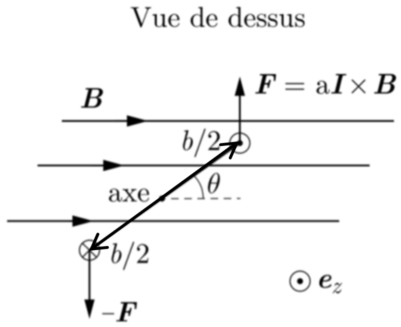

9.2.3 Galvanomètre

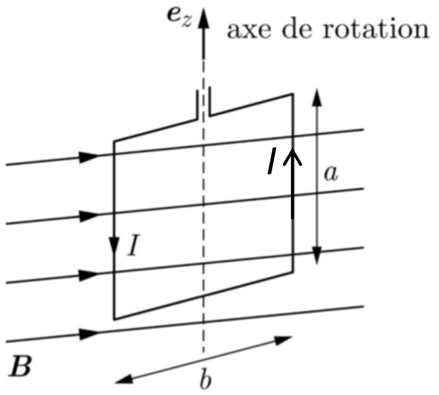

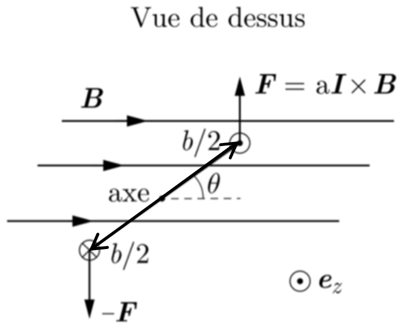

$$\mathbf{r} \times \mathbf{F} + (-\mathbf{r}) \times (-\mathbf{F}) = \mathbf{r} \times 2\mathbf{F}$$

$$\alpha + \theta = \frac{\pi}{2} \Rightarrow \sin\alpha = \cos\theta$$

9.2.3 Galvanomètre

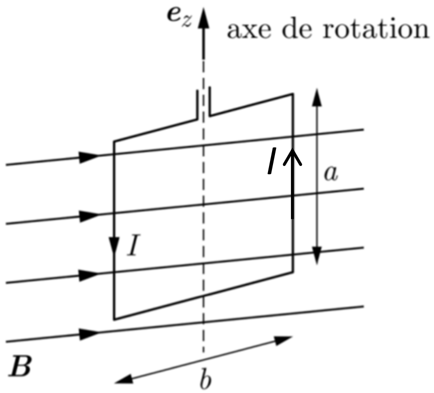

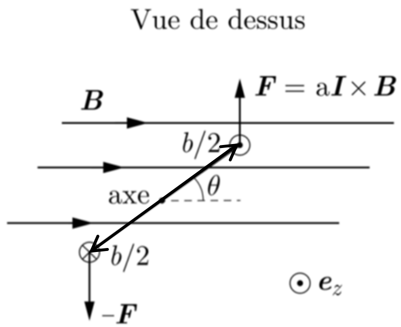

$$\mathbf{r} \times \mathbf{F} + (-\mathbf{r}) \times (-\mathbf{F}) = \mathbf{r} \times 2\mathbf{F}$$

$$\alpha + \theta = \frac{\pi}{2} \Rightarrow \sin\alpha = \cos\theta$$

- Moment de force de Laplace : (couple de forces **F** et -**F**)

$$\mathbf{M} = \mathbf{r} \times 2\mathbf{F} = 2\|\mathbf{r}\|\|\mathbf{F}\|\sin\alpha\,\mathbf{e}_z = 2\frac{b}{2}aIB\cos\theta\,\mathbf{e}_z$$

9.2.3 Galvanomètre

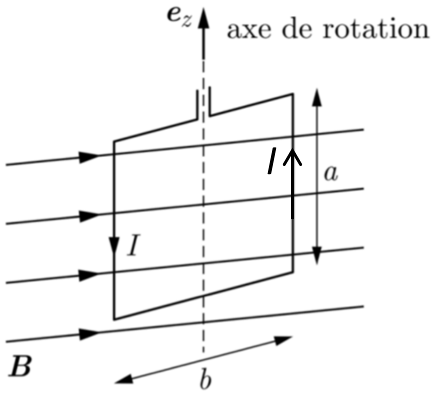

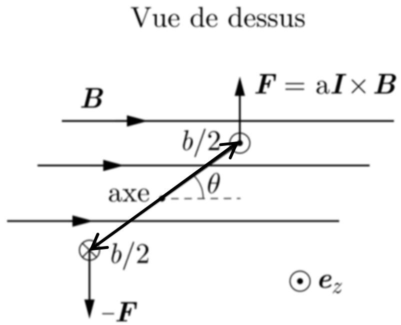

$$\mathbf{r} \times \mathbf{F} + (-\mathbf{r}) \times (-\mathbf{F}) = \mathbf{r} \times 2\mathbf{F}$$

$$\alpha + \theta = \frac{\pi}{2} \Rightarrow \sin\alpha = \cos\theta$$

- Moment de force de Laplace : (couple de forces **F** et -**F**)

$$\mathbf{M} = \mathbf{r} \times 2\mathbf{F} = 2\|\mathbf{r}\|\|\mathbf{F}\|\sin\alpha\,\mathbf{e}_z = 2\frac{b}{2}aIB\cos\theta\,\mathbf{e}_z$$

- Moment de force de rappel élastique : $\mathbf{M} = -C\theta\mathbf{e}_z$ où $C > 0$

9.2.3 Galvanomètre

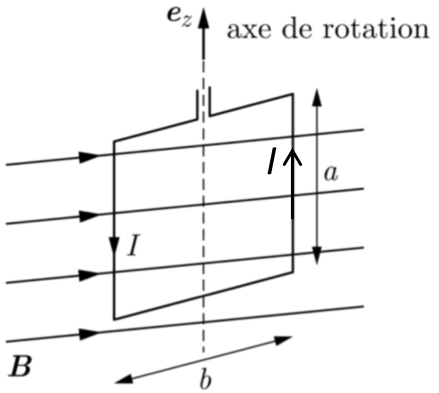

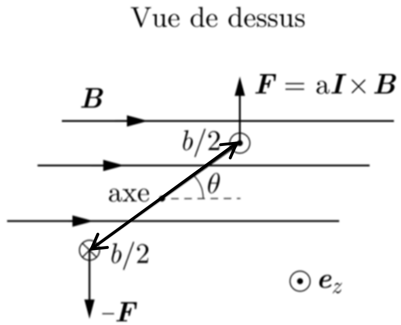

$$\mathbf{r} \times \mathbf{F} + (-\mathbf{r}) \times (-\mathbf{F}) = \mathbf{r} \times 2\mathbf{F}$$

$$\alpha + \theta = \frac{\pi}{2} \Rightarrow \sin\alpha = \cos\theta$$

- Moment de force de Laplace : (couple de forces **F** et -**F**)

$$\mathbf{M} = \mathbf{r} \times 2\mathbf{F} = 2\|\mathbf{r}\|\|\mathbf{F}\|\sin\alpha\,\mathbf{e}_z = 2\frac{b}{2}aIB\cos\theta\,\mathbf{e}_z$$

- Moment de force de rappel élastique : $\mathbf{M} = -C\theta\mathbf{e}_z$ où $C > 0$
- État d'équilibre : (moment de force résultant nul)

$$\mathbf{r} \times 2\mathbf{F} - C\theta\mathbf{e}_z = \mathbf{0} \Rightarrow baIB\cos\theta - C\theta = 0 \Rightarrow \boxed{I = \frac{C\theta}{Bab\cos\theta} \quad (9.10)}$$

9.2.3 Galvanomètre

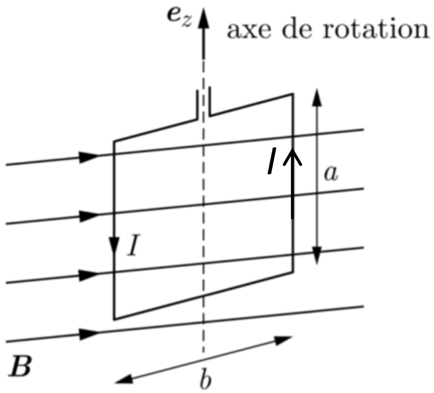

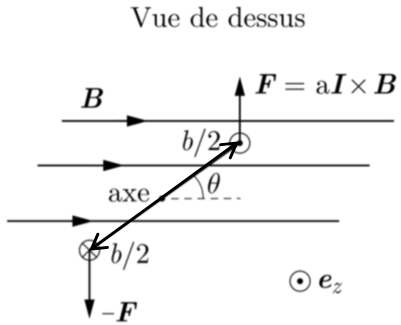

$$\mathbf{r}\times\mathbf{F}+(-\mathbf{r})\times(-\mathbf{F})=\mathbf{r}\times 2\mathbf{F}$$

$$\alpha+\theta=\frac{\pi}{2}\Rightarrow \sin\alpha=\cos\theta$$

- Moment de force de Laplace : (couple de forces **F** et -**F**)

$$\mathbf{M}=\mathbf{r}\times 2\mathbf{F}=2\|\mathbf{r}\|\|\mathbf{F}\|\sin\alpha\,\mathbf{e}_z=2\frac{b}{2}aIB\cos\theta\,\mathbf{e}_z$$

- Moment de force de rappel élastique : $\mathbf{M}=-C\theta\mathbf{e}_z$ où $C>0$
- État d'équilibre : (moment de force résultant nul)

$$\mathbf{r}\times 2\mathbf{F}-C\theta\mathbf{e}_z=\mathbf{0}\Rightarrow baIB\cos\theta-C\theta=0\Rightarrow \boxed{I=\frac{C\theta}{Bab\cos\theta}\quad(9.10)}$$

- On a ainsi construit un ampèremètre qui permet de mesurer le courant électrique I proportionnel à l'angle de déviation θ si $\theta \ll 1$.

9.2.4 Moteur à courant continu

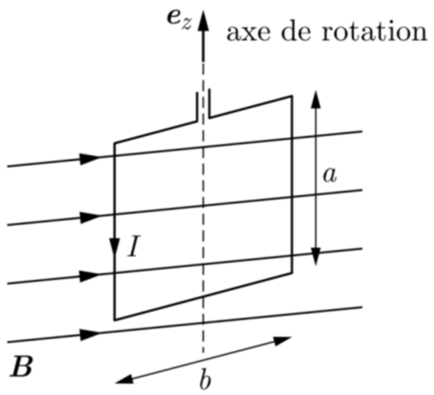

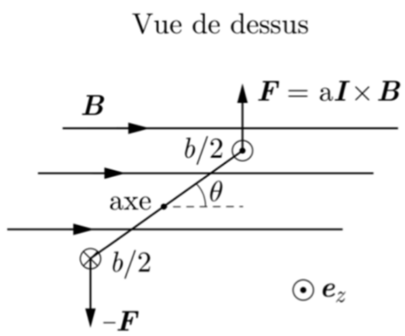

9.2.4 Moteur à courant continu

Le moteur électrique à courant continu est basé sur le même principe que le galvanomètre si ce n'est qu'il n'y a pas de force élastique de rappel et que le courant est inversé à chaque demi-tour afin que le moment de force de Laplace $\mathbf{M} = IBab\cos\theta\,\mathbf{e}_z$ soit toujours orienté dans le même sens.

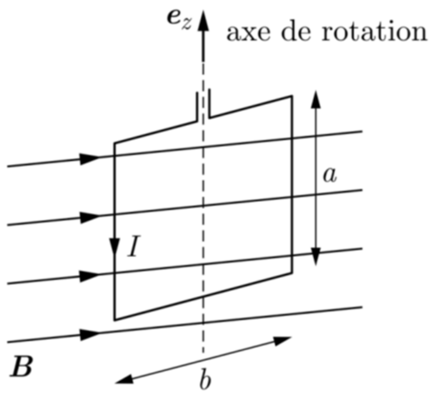

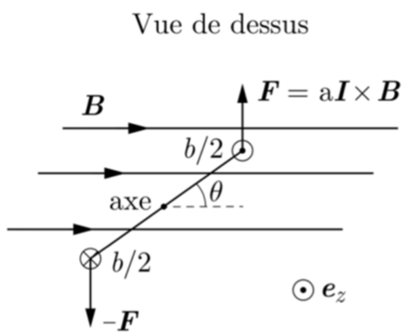

9.2.4 Moteur à courant continu

Le moteur électrique à courant continu est basé sur le même principe que le galvanomètre si ce n'est qu'il n'y a pas de force élastique de rappel et que le courant est inversé à chaque demi-tour afin que le moment de force de Laplace $\mathbf{M} = IBab\cos\theta\,\mathbf{e}_z$ soit toujours orienté dans le même sens.

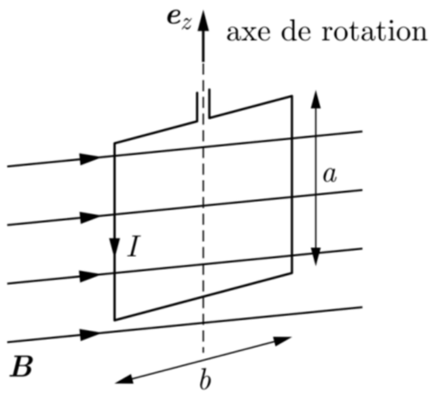

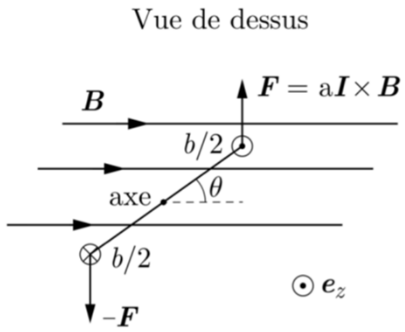

- Moment de force :

$$\mathbf{M} = IBab\cos\theta\,\mathbf{e}_z$$

1. $-\frac{\pi}{2} < \theta < \frac{\pi}{2} \Rightarrow \mathbf{M} \odot$
2. $\frac{\pi}{2} < \theta < \frac{3\pi}{2} \Rightarrow \mathbf{M} \otimes$

9.2.4 Moteur à courant continu

Le moteur électrique à courant continu est basé sur le même principe que le galvanomètre si ce n'est qu'il n'y a pas de force élastique de rappel et que le courant est inversé à chaque demi-tour afin que le moment de force de Laplace $\mathbf{M} = IBab\cos\theta\,\mathbf{e}_z$ soit toujours orienté dans le même sens.

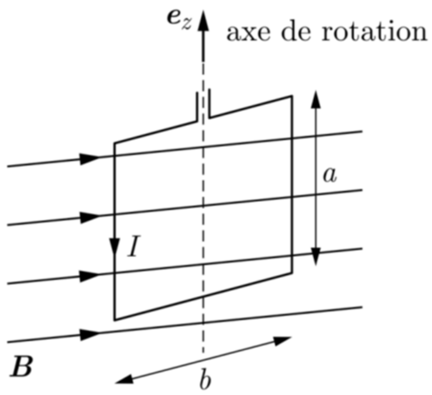

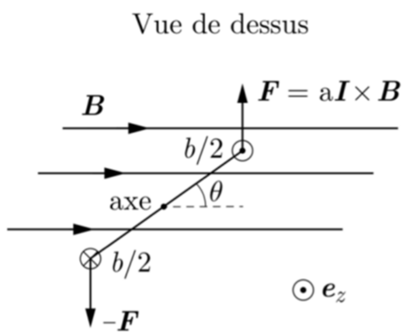

- Moment de force :

$$\mathbf{M} = IBab\cos\theta\,\mathbf{e}_z$$

1. $-\dfrac{\pi}{2} < \theta < \dfrac{\pi}{2} \Rightarrow \mathbf{M} \odot$
2. $\dfrac{\pi}{2} < \theta < \dfrac{3\pi}{2} \Rightarrow \mathbf{M} \otimes$

- En inversant le sens du courant **I** lorsque $\theta = \pi/2$ et $\theta = 3\pi/2$, le cadre tourne toujours dans le même sens!

9.2.4 Moteur à courant continu

Expérience :

9.2.4 Moteur à courant continu

Expérience : Moteur électrique simple

9.2.4 Moteur à courant continu

Expérience : Moteur électrique simple

- On suspend une bobine au-dessus d'un aimant. La bobine est reliée à une pile logée dans le boîtier en plastique situé sous l'aimant.

- Le moment de force de Laplace entretient le mouvement de rotation de la bobine.